

深度学习

夏同 来源: 龚月姣《学习与优化》

2026 年 1 月 28 日

目录

第一章 神经网络与深度学习基础	6
1.1 启发性思考	6
1.2 神经元：深度学习的基石	6
1.2.1 数学模型	6
1.2.2 关键组件详解	6
1.3 激活函数：从 Sigmoid 到 ReLU	7
1.3.1 经典激活函数	7
1.3.2 激活函数对比与进阶选择	8
1.4 前馈神经网络：层叠的威力	9
1.4.1 网络结构	9
1.4.2 优雅高效的矩阵表示	9
1.4.3 Softmax 函数：多分类的“裁判”	9
1.5 神经网络的训练：让模型学会思考	10
1.5.1 步骤一：定义网络结构	10
1.5.2 步骤二：定义损失函数（Loss Function）	10
1.5.3 步骤三：梯度下降优化	11
1.6 反向传播：深度学习的引擎	11
1.6.1 误差项（Error Term）的定义	11
1.6.2 反向传播的四步流程	11
1.6.3 反向传播推导（选读）	12
1.7 引言：从拟合数据到泛化世界	13
1.8 模型性能评估：不只是看分数	13
1.8.1 数据集划分的艺术	13
1.8.2 K-折交叉验证：小数据集的救星	14
1.9 诊断模型问题：欠拟合与过拟合	14
1.9.1 欠拟合（Underfitting）	14
1.9.2 过拟合（Overfitting）	15
1.9.3 偏差-方差权衡：统计学习理论的视角	15
1.10 正则化技术：防止过拟合的利器	15

1.10.1 L1 和 L2 正则化	15
1.10.2 Dropout: 训练时随机丢弃神经元	16
1.10.3 早停法 (Early Stopping)	16
1.11 从神经网络到深度学习: 历史脉络	17
1.11.1 发展历程	17
1.11.2 深度学习的四大支柱	18
1.11.3 为什么叫“深度学习”?	18
1.12 关键模型架构	19
1.12.1 自编码器 (Autoencoders, AEs)	19
1.12.2 卷积神经网络 (CNN)	19
1.12.3 循环神经网络 (RNN) 与 LSTM	20
1.12.4 生成对抗网络 (GANs)	21
1.12.5 扩散模型 (Diffusion Models)	22
1.13 Transformer: 注意力就是全部	22
1.13.1 自注意力机制 (Self-Attention)	22
1.13.2 多头注意力 (Multi-Head Attention)	23
1.13.3 Transformer 架构	23
1.13.4 位置编码 (Positional Encoding)	24
1.13.5 Transformer vs RNN/LSTM	24
1.14 为什么 Transformer 能够“通吃”?	25
1.14.1 从专家模型到通用模型	25
1.14.2 Transformer 的核心优势	25
1.15 总结与思考	25
第二章 深度强化学习之基础	26
2.1 引言: 从有答案的学习到探索的学习	26
2.1.1 监督学习的辉煌与局限	26
2.1.2 强化学习: 一种新的学习范式	27
2.2 马尔可夫决策过程: 强化学习的数学基础	28
2.2.1 马尔可夫决策过程的基本概念	28
2.2.2 MDP 的核心概念	29
2.3 价值函数: 评估策略的优劣	30
2.3.1 价值函数的定义与意义	30
2.3.2 价值函数的关系	31
2.3.3 最优价值函数	31
2.4 贝尔曼方程: 动态规划的核心	32
2.4.1 贝尔曼期望方程	32
2.4.2 贝尔曼最优方程	33

2.4.3 贝尔曼方程的矩阵形式	34
2.5 强化学习算法分类	34
2.5.1 有模型 vs 无模型	35
2.5.2 基于价值 vs 基于策略	36
2.5.3 蒙特卡洛 vs 时序差分	37
2.5.4 在线策略 vs 离线策略	38
2.6 Actor-Critic 方法：价值与策略的结合	39
2.6.1 Actor-Critic 框架	39
2.6.2 优势函数（Advantage Function）	40
2.6.3 策略梯度与 Actor-Critic	40
2.6.4 现代 Actor-Critic 算法	40
2.7 总结与展望	41
2.7.1 强化学习算法分类总结	41
2.7.2 强化学习的挑战与前沿	42
第三章 深度强化学习之价值学习	43
3.1 价值学习：从评估到决策	43
3.1.1 价值学习的核心思想	43
3.2 Q-Learning：经典的价值学习算法	44
3.2.1 算法原理	44
3.2.2 表格 Q-Learning	44
3.2.3 探索与利用的平衡： ϵ -贪婪策略	45
3.2.4 Q-Learning 与 SARSA 的比较	46
3.3 深度 Q 网络：当 Q-Learning 遇见深度学习	46
3.3.1 表格方法的局限性	46
3.3.2 深度 Q 网络的基本思想	46
3.3.3 DQN 的训练目标与损失函数	47
3.3.4 DQN 的训练流程	48
3.4 DQN 的核心技术	48
3.4.1 经验回放（Experience Replay）	48
3.4.2 目标网络（Target Network）	49
3.5 DQN 的改进与扩展	51
3.5.1 优先经验回放（Prioritized Experience Replay）	51
3.5.2 Double DQN	51
3.5.3 Dueling DQN	52
3.5.4 Multi-Step DQN	53
3.5.5 Noisy DQN	54
3.5.6 Distributional DQN	54

3.6	Rainbow: 集成多种改进	56
3.7	总结与比较	57
3.7.1	DQN 变种对比	57
3.7.2	实际应用建议	57
3.7.3	未来方向	57
第四章	深度强化学习之策略学习	59
4.1	引言: 为什么需要策略学习?	59
4.1.1	价值学习方法的局限性	59
4.1.2	策略学习的优势	60
4.1.3	策略学习的基本框架	61
4.2	策略梯度定理: 理论基础	61
4.2.1	目标函数的定义	61
4.2.2	轨迹概率的分解	61
4.2.3	策略梯度推导	62
4.2.4	直观理解	63
4.3	REINFORCE 算法: 蒙特卡洛策略梯度	63
4.3.1	基本 REINFORCE 算法	63
4.3.2	REINFORCE 的改进: 因果关系修正	63
4.3.3	REINFORCE 的改进: 引入基线	64
4.3.4	REINFORCE 的优缺点	65
4.4	Actor-Critic 方法: 结合价值函数	66
4.4.1	Actor-Critic 基本思想	66
4.4.2	优势函数 (Advantage Function)	66
4.4.3	Actor-Critic 算法	67
4.4.4	Actor-Critic 的优缺点	67
4.5	A2C 和 A3C: 并行化 Actor-Critic	67
4.5.1	优势 Actor-Critic (A2C)	67
4.5.2	A2C 算法	68
4.5.3	异步优势 Actor-Critic (A3C)	68
4.5.4	A2C vs A3C 比较	69
4.6	TRPO: 置信域策略优化	70
4.6.1	TRPO 的基本思想	70
4.6.2	TRPO 的数学形式	70
4.6.3	重要性采样 (Importance Sampling)	70
4.6.4	代理目标函数 (Surrogate Objective)	71
4.6.5	TRPO 的求解	71
4.6.6	TRPO 算法	71

4.6.7 TRPO 的优缺点	72
4.7 PPO: 近端策略优化	72
4.7.1 PPO 的基本思想	72
4.7.2 PPO-Clip 目标函数	73
4.7.3 PPO-Clip 的直观理解	73
4.7.4 PPO-Penalty 目标函数	74
4.7.5 广义优势估计 (GAE)	74
4.7.6 PPO 算法	75
4.7.7 联合损失函数	75
4.7.8 PPO 的优缺点	76
4.8 策略学习方法的比较与应用	76
4.8.1 方法对比	76
4.8.2 选择指南	76
4.8.3 实际应用建议	76
4.9 总结与展望	77
4.9.1 策略学习的发展历程	77
4.9.2 关键技术创新	77
4.9.3 未来发展方向	78
4.9.4 学习建议	78

第一章 神经网络与深度学习基础

1.1 启发性思考

深度学习的核心思想是模仿人脑处理信息的方式。人脑中约有 860 亿个神经元，每个神经元通过树突接收信号，在细胞体整合，若超过某个阈值则通过轴突释放信号（电脉冲）至其他神经元。这一“全有或全无”的激发模式启发了最早的数学模型——人工神经元（或称感知器）。

本章将系统学习：

- 人工神经元的基本组成：权重、偏置、激活函数
- 几种经典激活函数（Sigmoid, tanh, ReLU）的特性与对比
- 前馈神经网络的结构与矩阵表示
- Softmax 函数及其温度系数的妙用
- 神经网络训练的完整流程：前向传播、损失函数、梯度下降与核心算法——反向传播（Backpropagation, BP）

1.2 神经元：深度学习的基石

1.2.1 数学模型

一个神经元接收 n 个输入 x_1, x_2, \dots, x_n ，每个输入对应一个权重 w_i ，并有一个偏置 b 。神经元首先计算加权和（称为预激活值）：

$$z = \sum_{i=1}^n w_i x_i + b$$

然后将 z 送入一个非线性函数 f ，得到该神经元的激活输出：

$$a = f(z)$$

1.2.2 关键组件详解

定义 1.2.1 (权重 (Weight))。权重 w_i 衡量第 i 个输入对神经元输出的重要性或贡献度。在训练过程中，权重会被不断调整，以学习输入与输出之间的映射关系。

- **理性理解:** 权重是线性变换的参数，决定了输入空间到输出空间的投影方向与尺度。
- **感性理解:** 好比人际交往中，不同朋友说的话对你决策的影响程度不同，权重就是这种“信任度”或“影响力”的量化。

定义 1.2.2 (偏置 (Bias)). 偏置 b 是一个常数项，它平移了激活函数的阈值。即使所有输入为零，神经元也可能被激活（若 $b > 0$ ）。

- **理性理解:** 偏置提供了模型的平移自由度，使决策边界不必通过原点，增强了模型的表达能力。
- **感性理解:** 可以理解为一个人的“先天倾向”或“初始立场”。例如，即使没有任何外部信息（输入为零），一个人也可能因为内在性格（偏置）而倾向于做出某个决定。

定义 1.2.3 (激活函数 (Activation Function)). 激活函数 f 引入了非线性。如果没有非线性，无论堆叠多少层，整个网络仍然等价于一个线性模型，无法学习复杂的模式。

- **理性理解:** 非线性变换是神经网络能够成为“通用函数逼近器”的关键。
- **感性理解:** 就像人脑神经元对输入信号的响应不是简单的线性叠加，而是有一个“激发”或“抑制”的非线性过程。

1.3 激活函数：从 Sigmoid 到 ReLU

1.3.1 经典激活函数

Sigmoid 函数

$$\sigma(z) = \frac{1}{1 + e^{-z}} \in (0, 1)$$

- **优点:** 输出平滑、连续，导数易于计算 $\sigma'(z) = \sigma(z)(1 - \sigma(z))$ 。输出范围 $(0, 1)$ 适合表示概率。
- **缺点:**
 1. **梯度消失 (Vanishing Gradient):** 当 $|z|$ 很大时，导数接近 0。在深层网络中，梯度反向传播时连乘会导致前面层的梯度极小，参数更新缓慢甚至停滞。
 2. 输出不是零中心的（均值 > 0 ），可能导致后续层的输入发生偏移，影响梯度下降效率。
 3. 计算涉及指数，相对较慢。
- **用途:** 二分类问题的输出层（表示概率）。

双曲正切函数 (tanh)

$$\tanh(z) = \frac{e^z - e^{-z}}{e^z + e^{-z}} \in (-1, 1)$$

- **优点:** 输出是零中心的（均值为 0），这通常有助于加速收敛。同样平滑连续。
- **缺点:** 同样存在梯度消失问题。
- **用途:** 适合需要输出有界且零中心的场景，如 RNN 的隐藏状态。

线性整流单元 (ReLU)

$$\text{ReLU}(z) = \max(0, z)$$

- **优点:**
 1. **计算高效:** 只需比较和取最大值。
 2. **缓解梯度消失:** 在正半轴导数为 1，梯度可以无衰减地反向传播。
 3. 在实践中，ReLU 网络通常比 Sigmoid/tanh 网络收敛快得多。
- **缺点:**
 1. **死亡 ReLU 问题 (Dying ReLU):** 一旦输入落入负半轴（例如，由于大的负偏置或激烈的权重更新），输出和梯度都为零，神经元“死亡”，不再参与后续学习。
 2. 输出非零中心，且无上界，可能导致梯度爆炸（需配合适当初始化与归一化）。

1.3.2 激活函数对比与进阶选择

表 1.1: 激活函数对比

函数	输出范围	零中心	梯度消失	计算速度
Sigmoid	(0,1)	否	严重	慢
tanh	(-1,1)	是	严重	慢
ReLU	[0, ∞)	否	缓解	极快

ReLU 的改进变体

- **Leaky ReLU:** $f(z) = \max(\alpha z, z)$ ，其中 α 是一个小的正数（如 0.01）。在负半轴保留一个微小斜率，避免神经元完全死亡。
- **PRelu (Parametric ReLU):** 将 α 作为可学习参数，让网络自行决定负半轴的斜率。
- **ELU (Exponential Linear Unit):** $f(z) = \begin{cases} z, & z > 0 \\ \alpha(e^z - 1), & z \leq 0 \end{cases}$ 。负半轴平滑渐近，输出接近零中心。
- **GELU / SiLU (Sigmoid Linear Unit):** $f(z) = z \cdot \sigma(z)$ 。这是一种平滑的非单调激活函数，被 BERT、GPT 等 Transformer 模型采用，性能优异。

实践建议: 现代深度网络中，ReLU 及其变体（尤其是 GELU）已成为隐藏层的默认选择。Sigmoid 多用于输出层（二分类概率），tanh 在特定架构（如 LSTM）中仍有应用。

1.4 前馈神经网络：层叠的威力

1.4.1 网络结构

前馈神经网络（Feed-forward Neural Network）由多层神经元组成，**信息单向流动**：从输入层，经过若干隐藏层，到达输出层。

- **不存在循环或反馈**（有循环的模型是循环神经网络 RNN）。
- 每一层的神经元接收前一层所有神经元的输出作为输入，并输出给下一层所有神经元（全连接）。

1.4.2 优雅高效的矩阵表示

设网络共 L 层（输入层为第 0 层，输出层为第 L 层）。第 l 层有 $d^{(l)}$ 个神经元。

- 第 l 层的权重矩阵 $W^{(l)} \in \mathbb{R}^{d^{(l)} \times d^{(l-1)}}$ ： $W_{ij}^{(l)}$ 表示第 $l-1$ 层第 j 个神经元到第 l 层第 i 个神经元的连接权重。
- 第 l 层的偏置向量 $b^{(l)} \in \mathbb{R}^{d^{(l)}}$ 。
- 第 l 层的输入（即前一层的激活输出）记为 $a^{(l-1)} \in \mathbb{R}^{d^{(l-1)}}$ 。

则第 l 层的预激活值 $z^{(l)}$ 和激活输出 $a^{(l)}$ 为：

$$z^{(l)} = W^{(l)}a^{(l-1)} + b^{(l)}, \quad a^{(l)} = f^{(l)}(z^{(l)})$$

其中 $f^{(l)}$ 是第 l 层的激活函数。这种矩阵形式极其适合 GPU 并行计算。

1.4.3 Softmax 函数：多分类的“裁判”

标准 Softmax

对于 K 类的分类问题，输出层通常有 K 个神经元，输出一个未经归一化的得分向量 (logits) $z \in \mathbb{R}^K$ 。Softmax 将其转换为一个合法的概率分布：

$$\text{Softmax}(z)_i = \frac{e^{z_i}}{\sum_{j=1}^K e^{z_j}}, \quad i = 1, \dots, K$$

- **指数作用**：将实数映射到正数，并放大分数差距（高分更高，低分更低）。
- **归一化**：确保所有输出之和为 1，符合概率公理。
- **用途**：多分类任务的输出层，常与交叉熵损失函数搭配。

温度系数 (Temperature)

引入温度系数 $T > 0$ ，控制概率分布的“软硬”程度：

$$\text{Softmax}(z, T)_i = \frac{e^{z_i/T}}{\sum_{j=1}^K e^{z_j/T}}$$

- $T = 1$: 标准 Softmax。
- $T > 1$ (高温): 概率分布更“平坦”，模型对各類别的不确定性增加。常用于知识蒸馏 (Teacher 模型使用高溫度产生软标签，Student 模型学习之)。
- $T < 1$ (低温): 概率分布更“尖锐”，模型置信度更高。当 $T \rightarrow 0^+$ 时，Softmax 退化为 argmax (即 one-hot 向量)。

1.5 神经网络的训练：让模型学会思考

训练神经网络本质是寻找一组参数 (所有权重和偏置)，使模型在训练数据上的预测损失最小。这是一个典型的优化问题。

1.5.1 步骤一：定义网络结构

- **输入层维度**: 由数据特征决定。
- **隐藏层数量与宽度**: 决定模型容量。层数越多、每层神经元越多，模型拟合复杂函数的能力越强，但也更容易过拟合、计算成本更高。
- **输出层维度**: 由任务决定 (如二分类为 1，多分类为类别数，回归为 1)。

数据预处理: 通常将输入特征标准化 (均值 0, 方差 1) 或归一化到 $[0, 1]$ ，以加速收敛、提升性能。

1.5.2 步骤二：定义损失函数 (Loss Function)

损失函数量化模型预测 \hat{y} 与真实标签 y 之间的差距。

- **均方误差 (MSE)**: 用于回归任务。

$$J(W, b) = \frac{1}{2m} \sum_{i=1}^m (h_{W,b}(x^{(i)}) - y^{(i)})^2$$

其中 m 是样本数，乘以 $\frac{1}{2}$ 是为了后续求导方便 (与平方项的导数 2 抵消)。

- **交叉熵损失 (Cross-Entropy)**: 用于分类任务，尤其是与 Softmax 输出层结合。

$$J(W, b) = -\frac{1}{m} \sum_{i=1}^m \sum_{k=1}^K y_k^{(i)} \log(\hat{y}_k^{(i)})$$

其中 K 是类别数， $y_k^{(i)}$ 是样本 i 的真实标签 (one-hot 向量)， $\hat{y}_k^{(i)}$ 是模型预测的概率。

注记 1.5.1. 交叉熵衡量两个概率分布之间的“距离”。当预测分布与真实分布完全一致时，交叉熵最小 (等于真实分布的熵)。

1.5.3 步骤三：梯度下降优化

目标：最小化 $J(W, b)$ 。梯度下降（Gradient Descent）是核心优化算法。

$$W^{(l)} := W^{(l)} - \alpha \frac{\partial J}{\partial W^{(l)}}, \quad b^{(l)} := b^{(l)} - \alpha \frac{\partial J}{\partial b^{(l)}}$$

其中 α 是学习率（Learning Rate），控制更新步长。

- **理性：**沿着损失函数梯度的反方向（最速下降方向）更新参数。
- **感性：**好比在山区蒙眼下山，用脚试探周围最陡的下坡方向，然后迈一小步，重复此过程。

核心挑战：如何高效计算所有参数的梯度 $\frac{\partial J}{\partial W^{(l)}}$ 和 $\frac{\partial J}{\partial b^{(l)}}$ ？这正是反向传播要解决的。

1.6 反向传播：深度学习的引擎

反向传播（Backpropagation, BP）不是独立的优化算法，而是利用链式法则高效计算梯度的方法。它是神经网络训练的核心。

1.6.1 误差项（Error Term）的定义

对于第 l 层的第 i 个神经元，定义其误差项 $\delta_i^{(l)}$ 为损失函数对该神经元预激活值 $z_i^{(l)}$ 的偏导数：

$$\delta_i^{(l)} = \frac{\partial J}{\partial z_i^{(l)}}$$

误差项衡量了该神经元对最终损失的“责任”大小。

1.6.2 反向传播的四步流程

1. 前向传播

给定输入 x ，依次计算并保存每一层的 $z^{(l)}$ 和 $a^{(l)}$ ($a^{(0)} = x$)。

2. 计算输出层误差

$$\delta^{(L)} = \nabla_{a^{(L)}} J \odot f'(z^{(L)})$$

其中 $\nabla_{a^{(L)}} J$ 是损失对输出层激活的梯度， \odot 表示逐元素乘法（Hadamard 积）。

- 对于 MSE 损失和线性输出： $\nabla_{a^{(L)}} J = a^{(L)} - y$ 。
- 对于交叉熵损失和 Softmax 输出： $\nabla_{a^{(L)}} J = a^{(L)} - y$ （这是一个美妙的巧合，简化了计算）。

3. 反向传播误差（关键递推公式）

从 $l = L - 1$ 到 $l = 1$, 逐层计算:

$$\delta^{(l)} = ((W^{(l+1)})^\top \delta^{(l+1)}) \odot f'(z^{(l)})$$

- 理性解释:** 后一层的误差 $\delta^{(l+1)}$ 通过权重矩阵的转置 $(W^{(l+1)})^\top$ 传播回前一层, 再乘以当前层激活函数的导数, 进行调制。
- 感性解释:** 将最终错误 (损失) 归咎于每一层神经元的“失误”。高层神经元的错误分摊给其输入连接的底层神经元, 分摊比例就是连接的权重, 同时还要考虑该底层神经元当时是否处于“敏感”状态 (由 $f'(z^{(l)})$ 体现)。

4. 计算参数梯度

一旦得到 $\delta^{(l+1)}$, 第 l 层参数的梯度就非常简洁:

$$\frac{\partial J}{\partial W^{(l)}} = \delta^{(l+1)}(a^{(l)})^\top, \quad \frac{\partial J}{\partial b^{(l)}} = \delta^{(l+1)}$$

- 权重梯度:** 等于后一层的误差 $\delta^{(l+1)}$ 与前一层的激活 $a^{(l)}$ 的外积。
- 偏置梯度:** 就是后一层的误差 $\delta^{(l+1)}$ 本身。

5. 更新参数

使用梯度下降 (或其变体如 Adam) 更新所有参数:

$$W^{(l)} \leftarrow W^{(l)} - \alpha \frac{\partial J}{\partial W^{(l)}}, \quad b^{(l)} \leftarrow b^{(l)} - \alpha \frac{\partial J}{\partial b^{(l)}}$$

6. 批处理与梯度累加

实际中我们使用小批量 (mini-batch) 数据计算梯度。步骤 4 中计算出的梯度通常是该批次内所有样本梯度的平均值。这既利用了向量化计算的效率, 又引入了噪声, 有助于逃离局部极小点。

1.6.3 反向传播推导 (选读)

理解推导有助于深入掌握 BP 本质。核心是链式法则。我们欲求 $\frac{\partial J}{\partial W_{ij}^{(l)}}$ 。注意 J 通过 $z_i^{(l+1)}$ 依赖于 $W_{ij}^{(l)}$ 。

$$\begin{aligned} \frac{\partial J}{\partial W_{ij}^{(l)}} &= \frac{\partial J}{\partial z_i^{(l+1)}} \cdot \frac{\partial z_i^{(l+1)}}{\partial W_{ij}^{(l)}} \\ &= \delta_i^{(l+1)} \cdot \frac{\partial}{\partial W_{ij}^{(l)}} \left(\sum_k W_{ik}^{(l)} a_k^{(l)} + b_i^{(l)} \right) \\ &= \delta_i^{(l+1)} \cdot a_j^{(l)} \end{aligned}$$

这正是 $\frac{\partial J}{\partial W^{(l)}} = \delta^{(l+1)}(a^{(l)})^\top$ 的第 (i, j) 个元素。

误差反向传播公式的推导类似，考虑 J 通过所有 $z_j^{(l+1)}$ 依赖于 $z_i^{(l)}$ ：

$$\begin{aligned}\delta_i^{(l)} &= \frac{\partial J}{\partial z_i^{(l)}} = \sum_j \frac{\partial J}{\partial z_j^{(l+1)}} \cdot \frac{\partial z_j^{(l+1)}}{\partial z_i^{(l)}} \\ &= \sum_j \delta_j^{(l+1)} \cdot \frac{\partial}{\partial z_i^{(l)}} \left(\sum_k W_{jk}^{(l+1)} f(z_k^{(l)}) + b_j^{(l+1)} \right) \\ &= \sum_j \delta_j^{(l+1)} \cdot W_{ji}^{(l+1)} \cdot f'(z_i^{(l)}) \\ &= \left(\sum_j W_{ji}^{(l+1)} \delta_j^{(l+1)} \right) f'(z_i^{(l)})\end{aligned}$$

括号内即为 $((W^{(l+1)})^\top \delta^{(l+1)})_i$ ，因此有 $\delta^{(l)} = ((W^{(l+1)})^\top \delta^{(l+1)}) \odot f'(z^{(l)})$ 。

1.7 引言：从拟合数据到泛化世界

深度学习的核心目标是构建能够在未见过的数据上表现良好的模型。这就像学生在期末考试中遇到新题时能灵活运用所学知识，而不是只会做练习题。本章将系统学习如何评估模型性能、诊断常见问题、优化模型泛化能力，并探索深度学习从神经网络到现代架构的发展历程。

1.8 模型性能评估：不只是看分数

1.8.1 数据集划分的艺术

为了模拟模型在真实世界中的表现，我们需要将数据划分为三个互斥的部分：

- **训练集 (Training Set)**: 模型的“教科书”，用于学习参数（权重和偏置）。
- **验证集 (Validation Set)**: 模型的“模拟考试”，用于：
 1. 超参数调优：选择学习率、网络层数、神经元数量等。
 2. 模型选择：比较不同架构的性能。
 3. 早停法 (Early Stopping) 的参考依据。
- **测试集 (Test Set)**: 模型的“期末考试”，在整个训练和调优过程中只使用一次，用于给出模型性能的无偏估计。

黄金法则：测试集必须与训练/验证集完全隔离，在整个流程的最后才使用一次。任何基于测试集结果的模型调整都会导致对泛化能力的乐观估计。

1.8.2 K-折交叉验证：小数据集的救星

当数据量有限时，简单的单次划分可能因随机性导致评估结果不稳定。K-折交叉验证提供了更稳健的解决方案。

算法流程：

1. 将训练数据（不包含测试集）随机划分为 K 个大小相似的互斥子集（“折”），通常 $K=5$ 或 10。
2. 进行 K 次循环，在第 i 次迭代中：
 - 使用第 i 折作为验证集
 - 使用其余 $K-1$ 折作为训练集
3. 将 K 次迭代得到的性能指标取平均值，作为模型性能的最终评估。

注记 1.8.1. 优点：

- 充分利用有限数据：每个样本都既当过训练数据也当过验证数据。
- 减少评估结果的随机性：基于多次评估的平均结果更可靠。

缺点：计算成本是单次划分的 K 倍。

1.9 诊断模型问题：欠拟合与过拟合

模型性能不佳通常源于两个根本问题：



图 1.1: 欠拟合与过拟合的图示

1.9.1 欠拟合 (Underfitting)

- **表现：**训练误差和测试误差都很高。
- **原因：**模型太简单，无法捕捉数据中的基本规律。
- **类比：**用线性方程去拟合抛物线数据。
- **解决方案：**
 1. 增加模型复杂度（更多层、更多神经元）。
 2. 使用更强大的特征。

3. 减少正则化强度。
4. 延长训练时间。

1.9.2 过拟合 (Overfitting)

- 表现: 训练误差很低, 但测试误差很高。
- 原因: 模型过于复杂, 记住了训练数据中的噪声和偶然性。
- 类比: 死记硬背所有例题, 但遇到新题不会做。
- 解决方案:
 1. 获取更多训练数据 (最有效但成本高)。
 2. 使用正则化技术。
 3. 简化模型结构。
 4. 早停法。
 5. Dropout (仅限神经网络)。

1.9.3 偏差-方差权衡: 统计学习理论的视角

泛化误差可以分解为三个部分:

$$\underbrace{\mathbb{E}[(y - \hat{f}(x))^2]}_{\text{泛化误差}} = \underbrace{[\text{Bias}(\hat{f}(x))]^2}_{\text{偏差}} + \underbrace{\text{Var}(\hat{f}(x))}_{\text{方差}} + \underbrace{\sigma^2}_{\text{不可约减误差}}$$

- **偏差 (Bias):** 模型预测的期望值与真实值之间的差距, 反映了模型的系统性错误。
 - 高偏差: 模型过于简单, 无法拟合数据的基本模式 (欠拟合)。
 - 感性理解: 就像用直尺测量曲面, 无论测多少次都有系统误差。
- **方差 (Variance):** 模型对训练数据变化的敏感度, 反映了模型的不稳定性。
 - 高方差: 模型过于复杂, 对训练数据中的随机噪声敏感 (过拟合)。
 - 感性理解: 就像用过于灵敏的天平, 每次读数都因微小扰动而不同。
- **不可约减误差 (Irreducible Error):** 数据本身的噪声, 任何模型都无法消除。

权衡: 增加模型复杂度通常降低偏差但增加方差, 减少模型复杂度则相反。理想的模型需要在两者之间找到平衡点。

1.10 正则化技术: 防止过拟合的利器

正则化通过在损失函数中添加惩罚项来约束模型复杂度, 防止过拟合。

1.10.1 L1 和 L2 正则化

在损失函数中添加参数的惩罚项:

$$J_{\text{reg}}(W, b) = J(W, b) + \lambda \cdot R(W)$$

其中 $\lambda > 0$ 是正则化强度超参数。

表 1.2: L1 vs L2 正则化对比

类型	惩罚项 $R(W)$	数学形式	效果
L1 正则化 (Lasso)	$\lambda \sum_{i=1}^n w_i $	绝对值之和	稀疏化: 将不重要特征的权重压缩到 0
L2 正则化 (Ridge)	$\frac{\lambda}{2} \sum_{i=1}^n w_i^2$	平方和	权重衰减: 使所有权重更小、更平均

几何解释

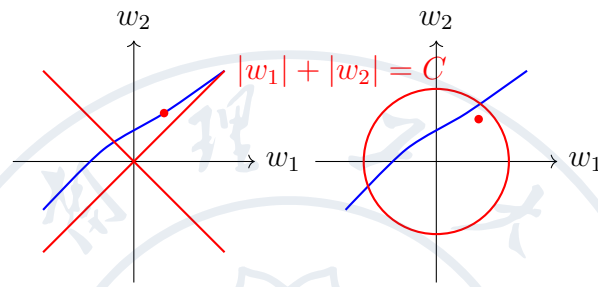


图 1.2: L1 和 L2 正则化的几何解释

L1 正则化的约束区域是菱形，最优解往往在角点上（某些权重为 0），从而实现特征选择。L2 正则化的约束区域是圆形，最优解使所有权重都较小且分布均匀。

1.10.2 Dropout: 训练时随机丢弃神经元

Dropout 是一种在训练阶段使用的正则化技术：

- 每个训练步骤中，以概率 p 随机“丢弃”（设为 0）每个神经元的输出。
- 迫使网络不依赖于任何单个神经元，学习更鲁棒的特征。
- 测试阶段使用所有神经元，但输出要乘以 $1 - p$ （或训练时缩放）。

1.10.3 早停法 (Early Stopping)

监控验证集误差，当验证误差连续多个 epoch 不再下降（甚至上升）时停止训练。

- **优点:** 简单有效，不需要改变模型结构。
- **缺点:** 需要额外的验证集，停止时机不易确定。

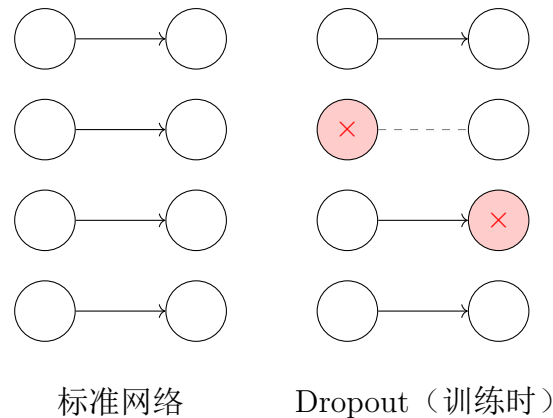


图 1.3: Dropout 示意图

1.11 从神经网络到深度学习：历史脉络

1.11.1 发展历程

早期探索 (1940s-1980s)

- 1943 年: McCulloch 和 Pitts 提出 M-P 神经元模型, 模拟生物神经元。
- 1958 年: Rosenblatt 提出感知机 (Perceptron), 可视为单层神经网络。
- 1969 年: Minsky 和 Papert 出版《Perceptrons》, 指出单层感知机无法解决 XOR 等非线性问题, 导致神经网络研究进入寒冬。

复兴前夜 (1980s-2006)

- 1986 年: Rumelhart 等人提出反向传播算法, 解决了多层网络训练问题。
- 但仍受限于: 数据不足、计算力有限、优化困难 (梯度消失/爆炸)。

复兴之年 (2006)

- Hinton 等人发表《A Fast Learning Algorithm for Deep Belief Nets》, 提出:
 - 逐层贪婪预训练: 逐层训练受限玻尔兹曼机 (RBM)。
 - 微调: 用反向传播微调整个网络。
- 解决了深度网络训练难题, 开启了深度学习新时代。

爆发之年 (2012)

- AlexNet 在 ImageNet 竞赛中夺冠, 将 Top-5 错误率从 26% 降至 15%。
- 关键创新: 使用 ReLU、Dropout、GPU 加速。
- 证明学习到的特征可超越手工设计特征。

1.11.2 深度学习的四大支柱

表 1.3: 深度学习的四大支柱

支柱	内容	意义
数据	大规模标注数据 (ImageNet 等), 燃料, 数据量决定模型性能上限 互联网产生海量数据	
算力	GPU 并行计算, TPU 专用芯片, 引擎, 使训练深层网络成为可能 云计算平台	
算法	新激活函数 (ReLU), 正则化 智慧, 提升模型性能与训练稳定性 (Dropout), 优化器 (Adam), 新 性 架构 (ResNet)	
开源生态	TensorFlow, PyTorch	土壤, 加速研究与应用普及

1.11.3 为什么叫“深度学习”?

深指网络层数多 (通常 >3 层)。与传统机器学习相比:

表 1.4: 传统机器学习 vs 深度学习

传统机器学习	深度学习
特征工程: 人工设计特征	特征学习: 自动从数据中学习特征
流水线式: 多个独立步骤	端到端: 单个模型完成所有任务
浅层模型: 1-2 层	深层模型: 数十至数百层
可解释性强	可解释性弱 (黑盒)
数据需求少	数据需求大

深度学习的关键优势: 通过多层非线性变换, 自动学习层次化特征表示:

- 浅层: 边缘、纹理、颜色
- 中层: 部件、形状
- 深层: 语义概念、对象

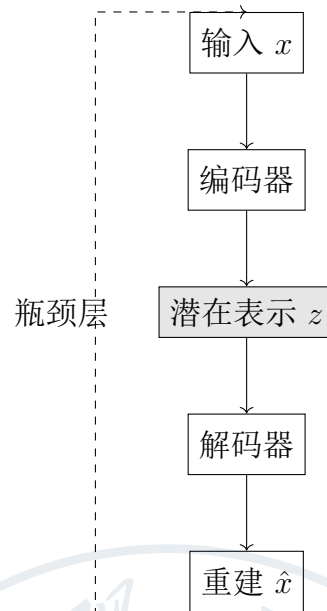


图 1.4: 自编码器结构示意图

1.12 关键模型架构

1.12.1 自编码器 (Autoencoders, AEs)

核心思想: 学习数据的压缩表示 (编码), 然后重建输入。

$$\text{编码器: } z = f(x) = \sigma(Wx + b)$$

$$\text{解码器: } \hat{x} = g(z) = \sigma(W'z + b')$$

$$\text{损失函数: } L(x, \hat{x}) = \|x - \hat{x}\|^2$$

变体与应用:

- **稀疏自编码器:** 在损失函数中添加稀疏约束。
- **去噪自编码器:** 输入加噪声, 要求重建原始干净数据。
- **变分自编码器 (VAE):** 学习数据的概率分布, 可生成新样本。

1.12.2 卷积神经网络 (CNN)

专门处理网格状数据 (如图像), 核心思想: 局部连接、权重共享、平移不变性。

核心组件

1. **卷积层:** 使用卷积核在输入上滑动, 计算局部加权和。

$$(I * K)_{i,j} = \sum_m \sum_n I_{i+m, j+n} \cdot K_{m,n}$$

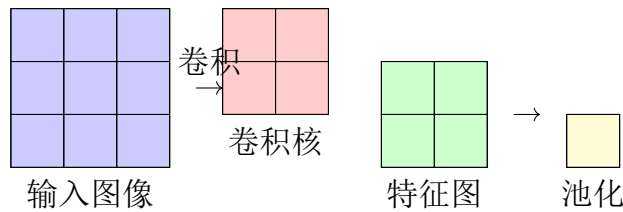


图 1.5: CNN 基本操作：卷积与池化

2. 池化层：下采样，减少参数量，增加平移不变性。

- 最大池化: $\text{MaxPool}(x)_{i,j} = \max(x_{2i:2i+1,2j:2j+1})$
- 平均池化: $\text{AvgPool}(x)_{i,j} = \text{mean}(x_{2i:2i+1,2j:2j+1})$

3. 全连接层：将特征图展平后分类。

经典架构

- **AlexNet** (2012): 首次使用 ReLU、Dropout、GPU 训练。
- **VGG** (2014): 使用 3×3 小卷积核堆叠深层网络。
- **ResNet** (2015): 残差连接解决梯度消失，训练极深网络 (152 层)。

1.12.3 循环神经网络 (RNN) 与 LSTM

专门处理序列数据，具有记忆能力。

标准 RNN

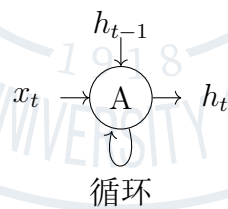


图 1.6: RNN 的表示

RNN 的状态更新公式：

$$h_t = \tanh(W_{hh}h_{t-1} + W_{xh}x_t + b_h)$$

问题：标准 RNN 使用 \tanh 激活函数，虽然能缓解梯度爆炸，但仍有梯度消失问题，难以学习长期依赖。

LSTM：长短期记忆网络

LSTM 通过门控机制解决长期依赖问题。

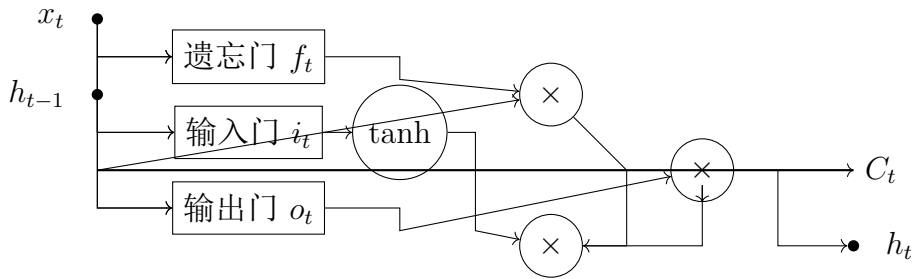


图 1.7: LSTM 单元结构

LSTM 的三个门:

1. 遗忘门: 决定从细胞状态中丢弃什么信息

$$f_t = \sigma(W_f \cdot [h_{t-1}, x_t] + b_f)$$

2. 输入门: 决定将哪些新信息存入细胞状态

$$i_t = \sigma(W_i \cdot [h_{t-1}, x_t] + b_i)$$

$$\tilde{C}_t = \tanh(W_C \cdot [h_{t-1}, x_t] + b_C)$$

3. 输出门: 决定输出什么信息

$$o_t = \sigma(W_o \cdot [h_{t-1}, x_t] + b_o)$$

$$h_t = o_t \odot \tanh(C_t)$$

细胞状态更新:

$$C_t = f_t \odot C_{t-1} + i_t \odot \tilde{C}_t$$

注记 1.12.1. 为什么 LSTM 能解决长期依赖?

- 细胞状态 C_t 像一条“传送带”，信息可以几乎不变地流过。
- 门控机制选择性地让信息通过。
- 梯度在细胞状态上可以稳定传播，不易消失。

1.12.4 生成对抗网络 (GANs)

核心思想: 两个神经网络相互博弈

- **生成器 G :** 学习真实数据分布，生成以假乱真的样本。
- **判别器 D :** 区分真实数据与生成数据。

目标函数 (极小极大博弈):

$$\min_G \max_D V(D, G) = \mathbb{E}_{x \sim p_{\text{data}}(x)} [\log D(x)] + \mathbb{E}_{z \sim p_z(z)} [\log(1 - D(G(z)))]$$

训练过程:

1. 固定 G , 训练 D : 最大化区分真实与假数据的能力。
2. 固定 D , 训练 G : 最小化 $\log(1 - D(G(z)))$, 即让生成数据更易骗过 D 。

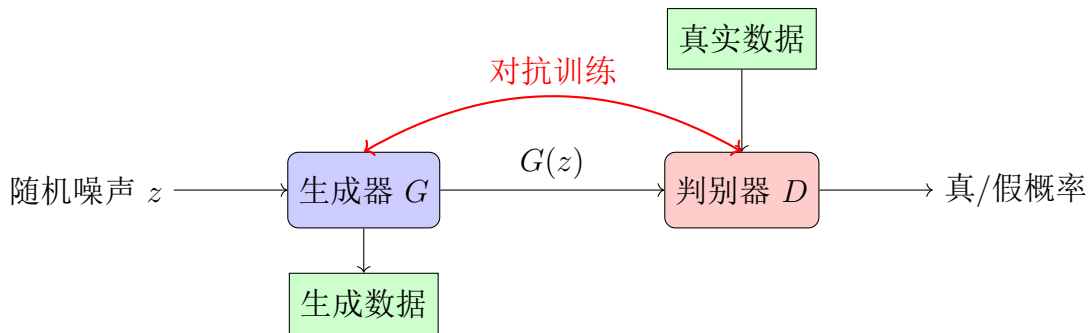


图 1.8: GAN 的基本结构

1.12.5 扩散模型 (Diffusion Models)

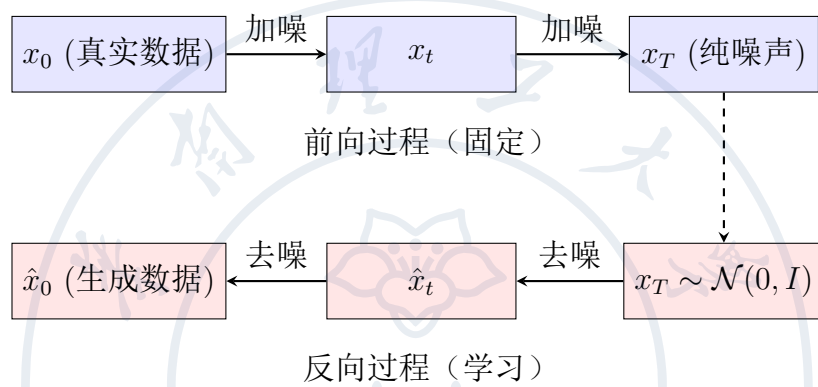


图 1.9: 扩散模型的前向与反向过程

核心思想:

1. 前向过程: 逐步向数据添加高斯噪声, 直到变成纯噪声。

$$q(x_t|x_{t-1}) = \mathcal{N}(x_t; \sqrt{1 - \beta_t}x_{t-1}, \beta_t I)$$

2. 反向过程: 学习去噪过程, 从噪声中重建数据。

$$p_\theta(x_{t-1}|x_t) = \mathcal{N}(x_{t-1}; \mu_\theta(x_t, t), \Sigma_\theta(x_t, t))$$

优势: 生成质量高, 训练稳定, 无需对抗训练。

1.13 Transformer: 注意力就是全部

1.13.1 自注意力机制 (Self-Attention)

传统 RNN/LSTM 的问题是顺序处理、难以并行、长距离依赖衰减。Transformer 的解决方案: 完全基于注意力。

Query, Key, Value 概念:

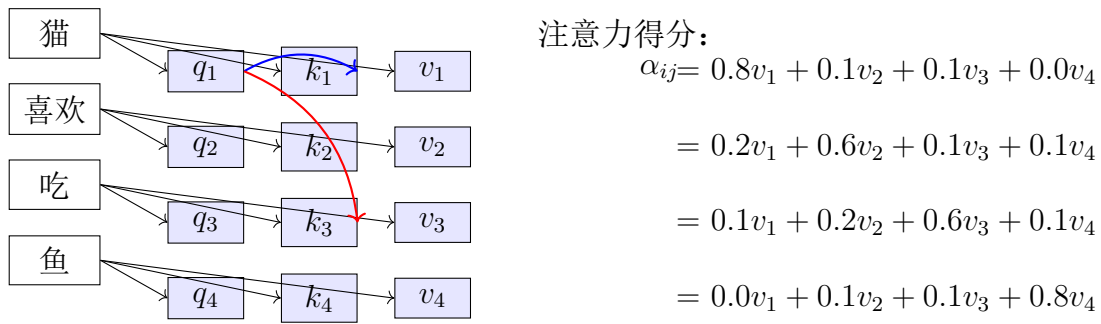


图 1.10: 自注意力机制示例：“吃”与“鱼”有强关联

- **Query (查询):** 当前要计算注意力的位置。
- **Key (键):** 所有位置, 用于与 Query 计算相关性。
- **Value (值):** 所有位置的实际信息。

计算过程:

1. 对每个输入 x_i , 通过可学习权重矩阵计算 $q_i = W^Q x_i$, $k_i = W^K x_i$, $v_i = W^V x_i$ 。
2. 计算注意力分数: $\alpha_{ij} = \text{softmax} \left(\frac{q_i \cdot k_j}{\sqrt{d_k}} \right)$, 其中 d_k 是 Key 的维度 (缩放因子防止梯度消失)。
3. 加权求和: $c_i = \sum_j \alpha_{ij} v_j$ 。

矩阵形式:

$$\text{Attention}(Q, K, V) = \text{softmax} \left(\frac{QK^\top}{\sqrt{d_k}} \right) V$$

1.13.2 多头注意力 (Multi-Head Attention)

单一注意力机制可能只关注特定类型的模式。多头注意力允许模型同时关注不同子空间的信息。

$$\begin{aligned}\text{MultiHead}(Q, K, V) &= \text{Concat}(\text{head}_1, \dots, \text{head}_h)W^O \\ \text{head}_i &= \text{Attention}(QW_i^Q, KW_i^K, VW_i^V)\end{aligned}$$

1.13.3 Transformer 架构

编码器 (Encoder)

- 由 N 个相同层堆叠。
- 每层包含: 多头自注意力 + 前馈神经网络 + 残差连接 + 层归一化。

解码器 (Decoder)

- 也由 N 个相同层堆叠。
- 每层包含:
 1. 掩码多头自注意力: 防止当前位置看到未来信息 (因果掩码)。

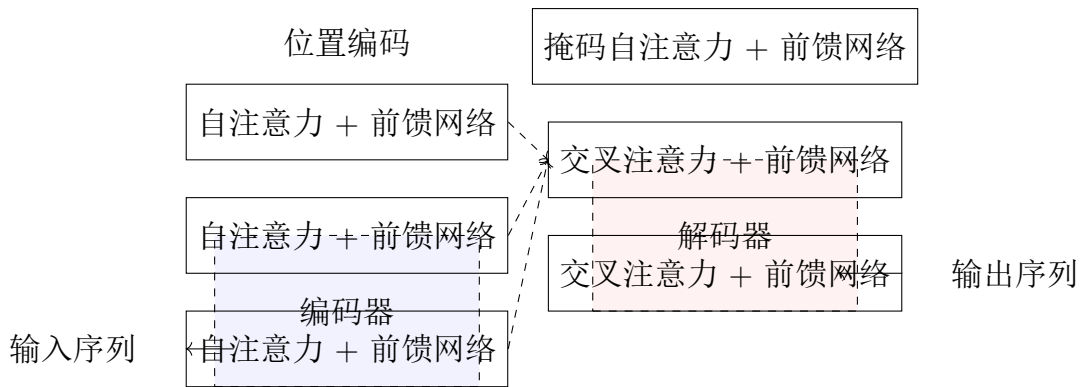


图 1.11: Transformer 架构

2. 多头交叉注意力: Query 来自解码器, Key/Value 来自编码器。
3. 前馈神经网络 + 残差连接 + 层归一化。

1.13.4 位置编码 (Positional Encoding)

自注意力机制本身不包含位置信息, 需要额外注入位置编码:

$$\begin{aligned} PE_{(pos,2i)} &= \sin(pos/10000^{2i/d_{\text{model}}}) \\ PE_{(pos,2i+1)} &= \cos(pos/10000^{2i/d_{\text{model}}}) \end{aligned}$$

其中 pos 是位置, i 是维度索引。这种正弦编码能够捕捉相对位置关系。

1.13.5 Transformer vs RNN/LSTM

表 1.5: Transformer 与 RNN/LSTM 对比

特性	Transformer	RNN/LSTM
核心机制	自注意力 (全局依赖)	循环结构 (顺序依赖)
并行能力	高 (所有位置并行计算)	低 (必须顺序计算)
长距离依赖	$O(1)$ 路径长度	$O(n)$ 路径长度, 易梯度消失
计算复杂度	$O(L^2 \cdot d)$, L 为序列长度	$O(L \cdot d^2)$
显存占用	高 (需存储注意力矩阵)	低
可解释性	高 (注意力权重可视化)	低 (隐藏状态难解释)
位置信息	需显式添加位置编码	天然包含位置信息

1.14 为什么 Transformer 能够“通吃”？

1.14.1 从专家模型到通用模型

- **旧范式:** 各司其职的专家模型
 - 图像: CNN (卷积核捕捉局部特征)
 - 序列: RNN/LSTM (循环结构捕捉时序)
 - 归纳偏置强, 但领域受限。
- **新范式:** 万物皆序列的通用模型
 - 文本: 词序列 $[w_1, w_2, \dots, w_n]$
 - 图像: 切分为 patch 序列
 - 音频: 帧序列
 - 视频: 帧序列的序列
- **统一处理:** 所有数据都转化为标记序列, 用 Transformer 处理。

1.14.2 Transformer 的核心优势

1. **全局依赖建模:** 自注意力直接建立任意两个位置的联系。
2. **并行计算:** 极大加速训练。
3. **可扩展性:** 模型规模 (参数量、数据量、计算量) 增加带来稳定性能提升。
4. **多模态统一:** 相同的架构处理不同模态数据。

1.15 总结与思考

本章从模型评估和优化出发, 探讨了深度学习的关键问题:

- **评估:** 通过数据集划分和交叉验证获得可靠的性能估计。
- **诊断:** 识别欠拟合和过拟合, 理解偏差-方差权衡。
- **优化:** 使用正则化、Dropout、早停法提升泛化能力。
- **发展:** 从简单神经网络到深度学习的演进, 四大支柱的支撑。
- **架构:** CNN、RNN/LSTM、GAN、扩散模型、Transformer 等各有所长。
- **未来:** Transformer 展示了通用人工智能架构的潜力, 大模型时代已经到来。

思考: 深度学习的发展不仅是算法的进步, 更是数据、算力、算法和开源生态协同发展的结果。理解这些基础原理, 才能更好地应用和创新。

第二章 深度强化学习之基础

2.1 引言：从有答案的学习到探索的学习

2.1.1 监督学习的辉煌与局限

监督学习的核心思想

监督学习（Supervised Learning）是机器学习中最经典、最直观的范式。它的核心思想可以概括为：

从“有标签”的数据中学习。

- **学习方式：**模型通过学习大量的（输入，正确输出）样本对，来建立输入到输出的映射关系。
- **类比：**就像学生跟着老师学习，老师为每个问题提供标准答案。
- **数学模型：**给定训练集 $\{(x^{(i)}, y^{(i)})\}_{i=1}^m$ ，学习函数 $f: \mathcal{X} \rightarrow \mathcal{Y}$ ，使得 $f(x^{(i)}) \approx y^{(i)}$ 。

监督学习的成功案例

1. **图像分类：**输入图片，输出类别标签（猫/狗/车等）。
2. **语音识别：**输入音频波形，输出对应文本。
3. **机器翻译：**输入源语言句子，输出目标语言句子。

监督学习的局限性

尽管监督学习非常强大，但它并非万能。在某些场景下会面临严峻挑战：

表 2.1: 监督学习的局限性

挑战类型	具体描述与示例
“缺乏”标准答案”	<ul style="list-style-type: none"> 许多复杂决策问题没有唯一的”正确答案” 示例：围棋中每一步的好坏难以用简单的对错衡量 示例：自动驾驶中的决策权衡（安全 vs 效率）
序贯决策需求	<ul style="list-style-type: none"> 需要做一系列相关决策，而每一步的优劣要到很久之后才能判断 示例：下棋时需要规划多步之后的局面 示例：机器人需要完成多步动作才能达到目标
动态变化的环境	<ul style="list-style-type: none"> 环境不断变化，今天的”最优解”明天可能失效 示例：金融市场交易策略 示例：游戏 AI 应对不同玩家风格
探索与利用的权衡	<ul style="list-style-type: none"> 如何在已知的好方法和尝试新方法之间取得平衡 示例：推荐系统：推荐用户已知喜欢的内容 vs 尝试新内容

2.1.2 强化学习：一种新的学习范式

从”知道答案”到”探索答案”



图 2.1: 从监督学习到强化学习的范式转变

强化学习（Reinforcement Learning, RL）的核心思想：

通过与环境的”互动”和”试错”来学习。

- 没有现成答案：学习者（智能体）通过行动获得奖励或惩罚。
- 学习目标：学会采取能最大化长期累积奖励的策略。
- 类比：就像婴儿学习走路，通过尝试和摔倒（惩罚）来学会平衡和前进（奖励）。

人类学习与强化学习的类比

表 2.2: 人类学习与强化学习的对比

学习要素	人类学习	强化学习
交互	与环境互动（如触摸物体）	智能体与环境互动
反馈	<ul style="list-style-type: none"> 打碎杯子 → 受到惩罚 成绩提升 → 获得奖励 	<ul style="list-style-type: none"> 错误动作 → 负奖励 正确动作 → 正奖励
分析	<ul style="list-style-type: none"> ”打碎杯子”的收益小 ”好成绩”的收益大 	<ul style="list-style-type: none"> 评估动作的期望回报 更新策略以最大化回报
学习	<ul style="list-style-type: none"> 减小力度 努力学习 	<ul style="list-style-type: none"> 调整策略参数 更新价值函数

2.2 马尔可夫决策过程：强化学习的数学基础

2.2.1 马尔可夫决策过程的基本概念

马尔可夫决策过程 (Markov Decision Process, MDP) 是强化学习的标准数学框架，它形式化了智能体与环境交互的过程。

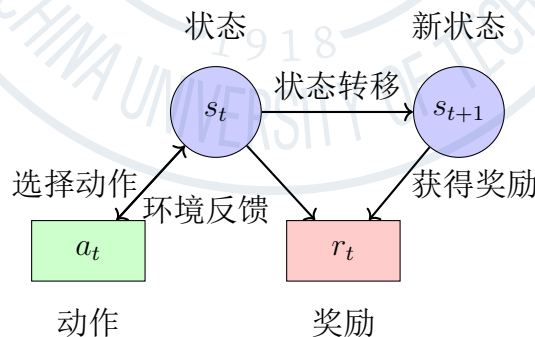


图 2.2: 马尔可夫决策过程的基本流程

MDP 的五个核心要素

一个 MDP 由以下五元组定义: $(\mathcal{S}, \mathcal{A}, P, R, \gamma)$

定义 2.2.1 (状态空间 \mathcal{S}). 状态 (State) 是对当前环境的完整描述。状态空间是所有可能状态的集合。

- **理性理解:** 状态是环境的“快照”，包含了做出决策所需的全部信息。
- **感性理解:** 就像下棋时的棋盘局面，包含了所有棋子的位置信息。
- **示例:** 在自动驾驶中，状态可能包括车辆位置、速度、周围车辆位置等。

定义 2.2.2 (动作空间 \mathcal{A}). 动作 (Action) 是智能体可以执行的操作。动作空间是所有可能动作的集合。

- **理性理解:** 动作是智能体对环境施加的控制信号。
- **感性理解:** 就像棋手可以走的合法着法。
- **分类:**
 1. 离散动作空间: 动作数量有限 (如上/下/左/右)
 2. 连续动作空间: 动作是连续的 (如转向角度、油门大小)

定义 2.2.3 (状态转移函数 P). 状态转移函数定义了环境动力学: $p(s' | s, a) = \mathbb{P}(S_{t+1} = s' | S_t = s, A_t = a)$

- **理性理解:** 在状态 s 执行动作 a 后，环境转移到状态 s' 的概率。
- **感性理解:** 就像知道在某个棋局走某步后，出现各种可能局面的概率。
- **马尔可夫性:** 下一状态 s' 只依赖于当前状态 s 和动作 a ，不依赖于更早的历史。

$$\mathbb{P}(S_{t+1} = s' | S_t = s, A_t = a, S_{t-1}, A_{t-1}, \dots) = \mathbb{P}(S_{t+1} = s' | S_t = s, A_t = a)$$

定义 2.2.4 (奖励函数 R). 奖励函数定义了立即奖励: $R(s, a) = \mathbb{E}[R_{t+1} | S_t = s, A_t = a]$

- **理性理解:** 在状态 s 执行动作 a 后，期望获得的立即奖励。
- **感性理解:** 就像游戏中的得分或扣分。
- **设计原则:** 奖励函数的设计是强化学习成功的关键，需要准确反映任务目标。
 - **稀疏奖励:** 只在关键时刻给予奖励 (如获胜时 +1, 失败时 -1)
 - **稠密奖励:** 每一步都有小奖励 (如离目标越近奖励越大)

定义 2.2.5 (折扣因子 γ). 折扣因子 $\gamma \in [0, 1]$ 权衡即时奖励与未来奖励的重要性。

$$U_t = R_t + \gamma R_{t+1} + \gamma^2 R_{t+2} + \gamma^3 R_{t+3} + \dots$$

- $\gamma = 0$: 只关心即时奖励 (短视)
- $\gamma \rightarrow 1$: 几乎平等对待所有未来奖励 (远见)
- **数学意义:** 确保无限序列的回报有界 (当 $\gamma < 1$ 时)
- **实际意义:** 反映未来奖励的不确定性 (“一鸟在手胜过双鸟在林”)

2.2.2 MDP 的核心概念

策略函数 π

定义 2.2.6 (策略函数). 策略 $\pi(a | s)$ 是在状态 s 下选择动作 a 的概率分布:

$$\pi(a | s) = \mathbb{P}(A_t = a | S_t = s)$$

- **确定性策略:** $\pi(s)$ 输出一个确定的动作 (如 $\pi(s) = \text{"向右移动"}$)
- **随机性策略:** $\pi(a | s)$ 输出动作的概率分布 (如 $\pi(\text{"右"} | s) = 0.8, \pi(\text{"左"} | s) = 0.2$)
- **理性理解:** 策略是智能体的“行为准则”或“决策规则”。
- **感性理解:** 就像一个人的性格或习惯, 决定了在什么情况下会做什么选择。

轨迹与回报

定义 2.2.7 (轨迹 (Trajectory)). 一个轨迹 (或回合, *Episode*) 是从初始状态到终止状态的完整交互序列:

$$\tau = (s_0, a_0, r_1, s_1, a_1, r_2, s_2, a_2, r_3, \dots)$$

其中 s_0 是初始状态, 智能体根据策略选择动作, 环境根据转移函数和奖励函数给出新状态和奖励。

定义 2.2.8 (回报 (Return)). 从时刻 t 开始的累计折扣奖励称为回报:

$$U_t = R_t + \gamma R_{t+1} + \gamma^2 R_{t+2} + \gamma^3 R_{t+3} + \dots = \sum_{k=0}^{\infty} \gamma^k R_{t+k}$$

- **理性理解:** 回报是未来所有奖励的加权和, 权重随时间指数衰减。
- **感性理解:** 就像投资回报, 近期的收益比远期的收益更有价值。

Rollout (或轨迹采样)

- **定义:** 从当前状态开始, 按照某个策略 π 进行交互, 生成一段轨迹的过程。
- **目的:** 评估策略在当前状态下的表现, 或收集训练数据。
- **示例:** 在蒙特卡洛树搜索中, 从当前棋局开始, 随机走棋直到终局, 得到胜负结果。

2.3 价值函数: 评估策略的优劣

2.3.1 价值函数的定义与意义

由于未来的奖励具有随机性 (来自策略的随机性和环境的随机性), 我们关心的是期望回报。

状态价值函数 $V_\pi(s)$

定义 2.3.1 (状态价值函数). 状态价值函数 $V_\pi(s)$ 表示从状态 s 开始, 遵循策略 π 所能获得的期望回报:

$$V_\pi(s) = \mathbb{E}_\pi[U_t | S_t = s] = \mathbb{E}_\pi \left[\sum_{k=0}^{\infty} \gamma^k R_{t+k} | S_t = s \right]$$

- **理性理解:** $V_\pi(s)$ 量化了状态 s 的“好坏”程度。

- **感性理解:** 就像评估一个棋局的“优势程度”，数值越大表示局面越好。
- **性质:** $V_\pi(s)$ 只依赖于状态 s 和策略 π ，不依赖于具体采取的动作。

动作价值函数 $Q_\pi(s, a)$

定义 2.3.2 (动作价值函数 (Q 函数)). 动作价值函数 $Q_\pi(s, a)$ 表示在状态 s 下执行动作 a , 然后遵循策略 π 所能获得的期望回报:

$$Q_\pi(s, a) = \mathbb{E}_\pi[U_t \mid S_t = s, A_t = a] = \mathbb{E}_\pi \left[\sum_{k=0}^{\infty} \gamma^k R_{t+k} \mid S_t = s, A_t = a \right]$$

- **理性理解:** $Q_\pi(s, a)$ 量化了在状态 s 下选择动作 a 的“好坏”程度。
- **感性理解:** 就像评估在某个棋局下走某一步的“优劣程度”。
- **关键区别:** $Q_\pi(s, a)$ 额外考虑了当前选择的动作 a 。

2.3.2 价值函数的关系

状态价值函数和动作价值函数之间存在密切关系:

从 Q_π 到 V_π

状态价值是该状态下所有可能动作的期望价值:

$$V_\pi(s) = \sum_{a \in \mathcal{A}} \pi(a \mid s) \cdot Q_\pi(s, a)$$

- **解释:** 在状态 s 下, 按照策略 π 随机选择动作, $V_\pi(s)$ 是 $Q_\pi(s, a)$ 的加权平均。
- **示例:** 如果策略 π 在状态 s 下以 0.7 概率选择动作 a_1 ($Q = 10$), 以 0.3 概率选择动作 a_2 ($Q = 5$), 则 $V_\pi(s) = 0.7 \times 10 + 0.3 \times 5 = 8.5$ 。

从 V_π 到 Q_π

动作价值可以分解为立即奖励加上折扣后的下一个状态价值的期望:

$$Q_\pi(s, a) = R(s, a) + \gamma \sum_{s' \in \mathcal{S}} p(s' \mid s, a) \cdot V_\pi(s')$$

- **解释:** 执行动作 a 后, 获得立即奖励 $R(s, a)$, 然后环境转移到状态 s' , 从 s' 开始遵循策略 π 的期望回报是 $V_\pi(s')$ 。
- **示例:** 在状态 s 执行动作 a , 有 0.8 概率转移到 s_1 ($V = 20$), 0.2 概率转移到 s_2 ($V = 5$), 立即奖励为 2, $\gamma = 0.9$, 则 $Q_\pi(s, a) = 2 + 0.9 \times (0.8 \times 20 + 0.2 \times 5) = 2 + 0.9 \times 17 = 17.3$ 。

2.3.3 最优价值函数

强化学习的最终目标是找到最优策略 π^* , 使得从任何状态出发都能获得最大期望回报。

最优状态价值函数

定义 2.3.3 (最优状态价值函数). 最优状态价值函数 $V^*(s)$ 是所有可能策略中能获得的最大状态价值:

$$V^*(s) = \max_{\pi} V_{\pi}(s), \quad \forall s \in \mathcal{S}$$

- 理性理解: $V^*(s)$ 是从状态 s 出发, 采用最优策略所能获得的最大期望回报。
- 感性理解: 就像“棋神”在当前局面下能获得的最佳结果。

最优动作价值函数

定义 2.3.4 (最优动作价值函数). 最优动作价值函数 $Q^*(s, a)$ 是所有可能策略中能获得的最大动作价值:

$$Q^*(s, a) = \max_{\pi} Q_{\pi}(s, a), \quad \forall s \in \mathcal{S}, a \in \mathcal{A}$$

- 理性理解: $Q^*(s, a)$ 是在状态 s 下执行动作 a , 然后采用最优策略所能获得的最大期望回报。
- 感性理解: 就像知道在某个局面下走某一步, 后续采用最佳着法能获得的最好结果。

最优价值函数的关系

最优状态价值和最优动作价值之间也存在类似关系:

$$\begin{aligned} V^*(s) &= \max_{a \in \mathcal{A}} Q^*(s, a) \\ Q^*(s, a) &= R(s, a) + \gamma \sum_{s' \in \mathcal{S}} p(s' | s, a) \cdot V^*(s') \end{aligned}$$

将两式结合, 得到:

$$\begin{aligned} V^*(s) &= \max_{a \in \mathcal{A}} \left\{ R(s, a) + \gamma \sum_{s' \in \mathcal{S}} p(s' | s, a) \cdot V^*(s') \right\} \\ Q^*(s, a) &= R(s, a) + \gamma \sum_{s' \in \mathcal{S}} p(s' | s, a) \cdot \max_{a' \in \mathcal{A}} Q^*(s', a') \end{aligned}$$

2.4 贝尔曼方程: 动态规划的核心

2.4.1 贝尔曼期望方程

贝尔曼期望方程 (Bellman Expectation Equation) 建立了当前价值与未来价值之间的关系。

状态价值函数的贝尔曼方程

定理 2.4.1 (状态价值函数的贝尔曼方程). 对于任意策略 π 和状态 s , 有:

$$V_\pi(s) = \sum_{a \in \mathcal{A}} \pi(a | s) \left[R(s, a) + \gamma \sum_{s' \in \mathcal{S}} p(s' | s, a) \cdot V_\pi(s') \right]$$

推导过程:

$$\begin{aligned} V_\pi(s) &= \mathbb{E}_\pi[U_t | S_t = s] \\ &= \mathbb{E}_\pi[R_t + \gamma U_{t+1} | S_t = s] \\ &= \sum_{a \in \mathcal{A}} \pi(a | s) \mathbb{E}_\pi[R_t + \gamma U_{t+1} | S_t = s, A_t = a] \\ &= \sum_{a \in \mathcal{A}} \pi(a | s) \left[R(s, a) + \gamma \sum_{s' \in \mathcal{S}} p(s' | s, a) \cdot \mathbb{E}_\pi[U_{t+1} | S_{t+1} = s'] \right] \\ &= \sum_{a \in \mathcal{A}} \pi(a | s) \left[R(s, a) + \gamma \sum_{s' \in \mathcal{S}} p(s' | s, a) \cdot V_\pi(s') \right] \end{aligned}$$

直观理解: 当前状态的价值 = 当前动作的期望立即奖励 + 折扣后的下一状态价值的期望。

动作价值函数的贝尔曼方程

定理 2.4.2 (动作价值函数的贝尔曼方程). 对于任意策略 π 、状态 s 和动作 a , 有:

$$Q_\pi(s, a) = R(s, a) + \gamma \sum_{s' \in \mathcal{S}} p(s' | s, a) \cdot \sum_{a' \in \mathcal{A}} \pi(a' | s') \cdot Q_\pi(s', a')$$

2.4.2 贝尔曼最优方程

贝尔曼最优方程 (Bellman Optimality Equation) 描述了最优价值函数必须满足的条件。

状态价值函数的最优贝尔曼方程

定理 2.4.3 (状态价值函数的最优贝尔曼方程). 最优状态价值函数满足:

$$V^*(s) = \max_{a \in \mathcal{A}} \left\{ R(s, a) + \gamma \sum_{s' \in \mathcal{S}} p(s' | s, a) \cdot V^*(s') \right\}$$

直观理解: 最优状态价值 = 所有可能动作中, 能获得最大”立即奖励 + 折扣后最优价值”的那个动作对应的值。

动作价值函数的最优贝尔曼方程

定理 2.4.4 (动作价值函数的最优贝尔曼方程). 最优动作价值函数满足:

$$Q^*(s, a) = R(s, a) + \gamma \sum_{s' \in \mathcal{S}} p(s' | s, a) \cdot \max_{a' \in \mathcal{A}} Q^*(s', a')$$

直观理解: 最优动作价值 = 立即奖励 + 折扣后下一状态的最优动作价值的最大值。

2.4.3 贝尔曼方程的矩阵形式

对于有限状态空间, 贝尔曼方程可以写成矩阵形式, 便于理论分析和计算。

状态价值函数的矩阵形式

设状态空间 $\mathcal{S} = \{s_1, s_2, \dots, s_N\}$, 定义:

- 状态价值向量: $\mathbf{V}_\pi = [V_\pi(s_1), V_\pi(s_2), \dots, V_\pi(s_N)]^\top$
 - 立即奖励向量: $\mathbf{R}_\pi = [R_\pi(s_1), R_\pi(s_2), \dots, R_\pi(s_N)]^\top$, 其中 $R_\pi(s) = \sum_{a \in \mathcal{A}} \pi(a | s) R(s, a)$
 - 状态转移矩阵: \mathbf{P}_π , 其中 $[\mathbf{P}_\pi]_{ij} = \sum_{a \in \mathcal{A}} \pi(a | s_i) p(s_j | s_i, a)$
- 则贝尔曼期望方程可写为:

$$\mathbf{V}_\pi = \mathbf{R}_\pi + \gamma \mathbf{P}_\pi \mathbf{V}_\pi$$

解析解与迭代解

1. 解析解: 理论上可以直接求解:

$$\mathbf{V}_\pi = (\mathbf{I} - \gamma \mathbf{P}_\pi)^{-1} \mathbf{R}_\pi$$

但矩阵求逆的复杂度为 $O(N^3)$, 当状态数 N 很大时计算不可行。

2. 迭代解: 实际中常用迭代方法:

$$\mathbf{V}_\pi^{(k+1)} = \mathbf{R}_\pi + \gamma \mathbf{P}_\pi \mathbf{V}_\pi^{(k)}$$

当 $k \rightarrow \infty$ 时, $\mathbf{V}_\pi^{(k)} \rightarrow \mathbf{V}_\pi$ 。

2.5 强化学习算法分类

强化学习算法可以从多个维度进行分类, 理解这些分类有助于我们选择合适的算法解决特定问题。

2.5.1 有模型 vs 无模型

表 2.3: 有模型方法与无模型方法的对比

有模型方法 (Model-Based)	无模型方法 (Model-Free)
核心思想: 拥有环境模型 (P 和 R)，可以通过规划 (Planning) 求解最优策略	核心思想: 不依赖环境模型，通过与环境的直接交互学习最优策略
环境知识: 需要知道状态转移概率 $p(s' s, a)$ 和奖励函数 $R(s, a)$	环境知识: 不需要知道 P 和 R ，只需与环境交互获得样本 (s, a, r, s')
典型算法: <ul style="list-style-type: none"> 值迭代 (Value Iteration) 策略迭代 (Policy Iteration) 蒙特卡洛树搜索 (MCTS) 	典型算法: <ul style="list-style-type: none"> Q-learning SARSA DQN 策略梯度方法
优点: <ul style="list-style-type: none"> 样本效率高 (可用模型生成虚拟数据) 可进行规划，无需实际交互 	优点: <ul style="list-style-type: none"> 更通用，不依赖环境模型 适用于复杂、未知环境
缺点: <ul style="list-style-type: none"> 需要准确的环境模型 模型误差会累积影响策略 	缺点: <ul style="list-style-type: none"> 样本效率较低 需要大量交互数据

有模型方法的进一步分类

- 给定环境模型:** 环境模型已知且准确
 - 示例: 棋类游戏 (规则明确)
 - 应用: AlphaGo 中的蒙特卡洛树搜索
- 学习环境模型:** 从交互数据中学习环境模型
 - 方法: 先用数据学习 $p(s' | s, a)$ 和 $R(s, a)$ 的估计
 - 算法: Dyna 框架 (Sutton, 1991)
 - 流程:
 - 用真实交互数据更新模型
 - 用模型生成虚拟数据
 - 用虚拟数据更新价值函数和策略

2.5.2 基于价值 vs 基于策略

表 2.4: 基于价值方法与基于策略方法的对比

基于价值方法 (Value-Based)	基于策略方法 (Policy-Based)
核心思想: 学习价值函数 (V 或 Q), 通过价值函数导出策略	核心思想: 直接学习策略函数 $\pi(a s; \theta)$, 优化策略参数 θ
策略表示: 通常是确定性的, $\pi(s) = \arg \max_a Q(s, a)$	策略表示: 可以是确定性的或随机性的, 直接参数化
典型算法:	典型算法:
<ul style="list-style-type: none"> • Q-learning • DQN • SARSA 	<ul style="list-style-type: none"> • REINFORCE • 策略梯度 • TRPO/PPO
优点:	优点:
<ul style="list-style-type: none"> • 通常更稳定, 收敛性较好 • 样本效率相对较高 	<ul style="list-style-type: none"> • 能处理连续动作空间 • 能学习随机策略 • 收敛到局部最优
缺点:	缺点:
<ul style="list-style-type: none"> • 难以处理连续动作空间 • 通常得到确定性策略 	<ul style="list-style-type: none"> • 方差大, 训练不稳定 • 样本效率较低

基于价值方法的策略推导

在基于价值的方法中, 策略通常从价值函数中推导出来:

1. **贪婪策略:** 总是选择价值最高的动作

$$\pi(s) = \arg \max_{a \in \mathcal{A}} Q(s, a)$$

2. **ϵ -贪婪策略:** 以 $1 - \epsilon$ 的概率选择最优动作, 以 ϵ 的概率随机选择动作

$$\pi(a | s) = \begin{cases} 1 - \epsilon + \frac{\epsilon}{|\mathcal{A}|} & \text{if } a = \arg \max_{a'} Q(s, a') \\ \frac{\epsilon}{|\mathcal{A}|} & \text{otherwise} \end{cases}$$

3. **Boltzmann 探索 (Softmax):** 按价值大小分配选择概率

$$\pi(a | s) = \frac{\exp(Q(s, a) / \tau)}{\sum_{a' \in \mathcal{A}} \exp(Q(s, a') / \tau)}$$

其中 $\tau > 0$ 是温度参数, 控制探索程度。

基于策略方法的目标函数

基于策略的方法直接优化策略参数 θ 以最大化期望回报:

$$J(\theta) = \mathbb{E}_{\tau \sim p_\theta(\tau)}[R(\tau)] = \mathbb{E}_{\tau \sim p_\theta(\tau)} \left[\sum_{t=0}^T \gamma^t r_t \right]$$

其中 $p_\theta(\tau)$ 是由策略 π_θ 生成轨迹 τ 的概率。

使用策略梯度定理, 可以得到梯度:

$$\nabla_\theta J(\theta) = \mathbb{E}_{\tau \sim p_\theta(\tau)} \left[\sum_{t=0}^T \nabla_\theta \log \pi_\theta(a_t | s_t) \cdot G_t \right]$$

其中 $G_t = \sum_{k=t}^T \gamma^{k-t} r_k$ 是从时刻 t 开始的累计回报。

2.5.3 蒙特卡洛 vs 时序差分

表 2.5: 蒙特卡洛方法与时序差分方法的对比

蒙特卡洛方法 (Monte Carlo, MC)	时序差分方法 (Temporal Difference, TD)
更新时机: 必须等到回合结束才能更新	更新时机: 每一步都可以立即更新
目标值: 使用实际回报 $G_t = \sum_{k=t}^T \gamma^{k-t} r_k$	目标值: 使用 TD 目标 $r_t + \gamma V(s_{t+1})$
偏差-方差: 无偏但高方差	偏差-方差: 有偏但低方差
更新公式 (状态价值): $V(s_t) \leftarrow V(s_t) + \alpha[G_t - V(s_t)]$	更新公式 (状态价值): $V(s_t) \leftarrow V(s_t) + \alpha[r_t + \gamma V(s_{t+1}) - V(s_t)]$
收敛性: 保证收敛到真实价值	收敛性: 在一定条件下收敛
适用场景:	适用场景:
<ul style="list-style-type: none"> 回合制任务 需要无偏估计 	<ul style="list-style-type: none"> 连续任务 在线学习 需要快速更新

蒙特卡洛方法的偏差与方差分析

- 无偏性: 蒙特卡洛估计是真实期望的无偏估计, 因为 G_t 是 $V(s_t)$ 的无偏估计。

$$\mathbb{E}[G_t | S_t = s] = V_\pi(s)$$

- 高方差: G_t 依赖于整个后续轨迹, 随机性积累导致高方差。

$$\text{Var}[G_t] = \text{Var} \left[\sum_{k=t}^T \gamma^{k-t} R_k \right] = \sum_{k=t}^T \gamma^{2(k-t)} \text{Var}[R_k] + \text{交叉项}$$

时序差分方法的偏差与方差分析

- **有偏性:** TD 目标 $r_t + \gamma V(s_{t+1})$ 是 $V(s_t)$ 的有偏估计, 因为 $V(s_{t+1})$ 本身是估计值。

$$\mathbb{E}[r_t + \gamma V(s_{t+1}) | S_t = s] \neq V_\pi(s) \text{ 除非 } V(s_{t+1}) = V_\pi(s_{t+1})$$

- **低方差:** TD 目标只依赖于单步奖励和下一个状态的价值估计, 随机性较少。

$$\text{Var}[r_t + \gamma V(s_{t+1})] \approx \text{Var}[r_t] + \gamma^2 \text{Var}[V(s_{t+1})]$$

2.5.4 在线策略 vs 离线策略

表 2.6: 在线策略方法与离线策略方法的对比

在线策略方法 (On-Policy)	离线策略方法 (Off-Policy)
行为策略与目标策略: 相同	行为策略与目标策略: 可以不同
数据收集: 使用当前策略收集数据	数据收集: 可以使用任意策略收集数据
数据利用: 只能使用当前策略产生的数据	数据利用: 可以使用历史数据、专家数据等
探索方式: 策略本身必须有一定的探索性	探索方式: 行为策略负责探索, 目标策略可以更贪婪
典型算法:	典型算法:
<ul style="list-style-type: none"> • SARSA • REINFORCE • TRPO • PPO 	<ul style="list-style-type: none"> • Q-learning • DQN • DDPG • SAC
优点:	优点:
<ul style="list-style-type: none"> • 理论分析相对简单 • 通常更稳定 	<ul style="list-style-type: none"> • 数据重用, 样本效率高 • 可以学习多个策略 • 支持从示范中学习
缺点:	缺点:
<ul style="list-style-type: none"> • 样本效率低 • 探索与利用需要平衡 	<ul style="list-style-type: none"> • 理论分析复杂 • 可可能存在收敛问题

SARSA: 在线策略 TD 控制算法

SARSA (State-Action-Reward-State-Action) 是经典的在线策略 TD 控制算法:

$$Q(S_t, A_t) \leftarrow Q(S_t, A_t) + \alpha [R_t + \gamma Q(S_{t+1}, A_{t+1}) - Q(S_t, A_t)]$$

- **名称来源:** 使用五元组 $(S_t, A_t, R_t, S_{t+1}, A_{t+1})$
- **在线策略:** A_t 和 A_{t+1} 都来自当前策略（通常为 ϵ -贪婪策略）
- **更新目标:** $R_t + \gamma Q(S_{t+1}, A_{t+1})$, 其中 A_{t+1} 是实际采取的动作

Q-learning: 离线策略 TD 控制算法

Q-learning 是最著名的离线策略 TD 控制算法：

$$Q(S_t, A_t) \leftarrow Q(S_t, A_t) + \alpha \left[R_t + \gamma \max_{a'} Q(S_{t+1}, a') - Q(S_t, A_t) \right]$$

- **离线策略:** A_t 来自行为策略（如 ϵ -贪婪），但更新时使用目标策略（贪婪策略）
- **更新目标:** $R_t + \gamma \max_{a'} Q(S_{t+1}, a')$, 使用最优动作的价值
- **收敛性:** 在一定条件下，Q-learning 能收敛到最优 Q 函数

经验回放 (Experience Replay)

经验回放是深度 Q 网络 (DQN) 中的关键技术，属于离线策略方法：

1. **存储经验:** 将经验元组 (s_t, a_t, r_t, s_{t+1}) 存入回放缓冲区 (Replay Buffer)
2. **随机采样:** 训练时从缓冲区中随机采样小批量经验
3. **打破相关性:** 随机采样打破了经验之间的时间相关性，提高稳定性
4. **数据重用:** 同一份经验可以多次用于训练，提高样本效率

2.6 Actor-Critic 方法：价值与策略的结合

2.6.1 Actor-Critic 框架

Actor-Critic 方法结合了基于价值方法和基于策略方法的优点：

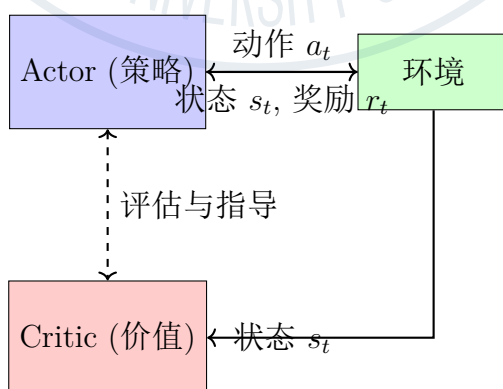


图 2.3: Actor-Critic 框架示意图

- **Actor (执行者):** 负责选择动作，即策略 $\pi_\theta(a | s)$
- **Critic (评论者):** 负责评估状态或状态-动作对的价值，即价值函数 $V_\phi(s)$ 或 $Q_\phi(s, a)$

- 协同工作:
 1. Actor 根据当前策略选择动作
 2. Critic 评估 Actor 选择的动作的好坏
 3. Critic 的评估指导 Actor 更新策略

2.6.2 优势函数 (Advantage Function)

优势函数是 Actor-Critic 方法中的核心概念，用于衡量一个动作相对于平均水平的优势：

$$A_\pi(s, a) = Q_\pi(s, a) - V_\pi(s)$$

- 直观理解：在状态 s 下选择动作 a 比随机选择动作平均好多少
- 性质：
 - 如果 $A_\pi(s, a) > 0$, 说明动作 a 优于平均水平
 - 如果 $A_\pi(s, a) < 0$, 说明动作 a 劣于平均水平
 - $\mathbb{E}_{a \sim \pi(\cdot|s)}[A_\pi(s, a)] = 0$ (所有动作的优势平均为 0)

2.6.3 策略梯度与 Actor-Critic

结合优势函数的策略梯度定理：

$$\nabla_\theta J(\theta) = \mathbb{E}_{\tau \sim p_\theta(\tau)} \left[\sum_{t=0}^T \nabla_\theta \log \pi_\theta(a_t | s_t) \cdot A_\pi(s_t, a_t) \right]$$

- REINFORCE 算法：使用蒙特卡洛回报 G_t 作为优势估计

$$\nabla_\theta J(\theta) \approx \sum_{t=0}^T \nabla_\theta \log \pi_\theta(a_t | s_t) \cdot (G_t - b(s_t))$$

其中 $b(s_t)$ 是基线 (baseline)，通常取 $V(s_t)$ 以减少方差。

- Actor-Critic 算法：使用 Critic 估计的优势函数

$$\nabla_\theta J(\theta) \approx \sum_{t=0}^T \nabla_\theta \log \pi_\theta(a_t | s_t) \cdot A_\phi(s_t, a_t)$$

其中 $A_\phi(s_t, a_t)$ 是 Critic 估计的优势函数。

2.6.4 现代 Actor-Critic 算法

优势 Actor-Critic (A2C/A3C)

- A2C (同步优势 Actor-Critic)：同步更新多个 Worker
- A3C (异步优势 Actor-Critic)：异步更新多个 Worker，提高训练速度

- **优势估计:** 使用 n 步 TD 误差估计优势

$$A(s_t, a_t) = \sum_{k=0}^{n-1} \gamma^k r_{t+k} + \gamma^n V(s_{t+n}) - V(s_t)$$

近端策略优化 (PPO)

PPO 通过限制策略更新的幅度来提高训练稳定性:

$$J^{\text{CLIP}}(\theta) = \mathbb{E}_t \left[\min \left(r_t(\theta) \hat{A}_t, \text{clip}(r_t(\theta), 1 - \epsilon, 1 + \epsilon) \hat{A}_t \right) \right]$$

其中 $r_t(\theta) = \frac{\pi_\theta(a_t|s_t)}{\pi_{\theta_{\text{old}}}(a_t|s_t)}$ 是概率比, \hat{A}_t 是优势估计, ϵ 是超参数。

深度确定性策略梯度 (DDPG)

DDPG 结合了 DQN 和确定性策略梯度, 适用于连续动作空间:

- **Actor:** 确定性策略 $\mu_\theta(s)$, 输出连续动作
- **Critic:** 动作价值函数 $Q_\phi(s, a)$
- **关键技术:**
 1. 经验回放
 2. 目标网络 (Target Network)
 3. 确定性策略梯度定理:

$$\nabla_\theta J(\theta) \approx \mathbb{E}_{s \sim \mathcal{D}} \left[\nabla_\theta \mu_\theta(s) \nabla_a Q_\phi(s, a) \Big|_{a=\mu_\theta(s)} \right]$$

2.7 总结与展望

2.7.1 强化学习算法分类总结

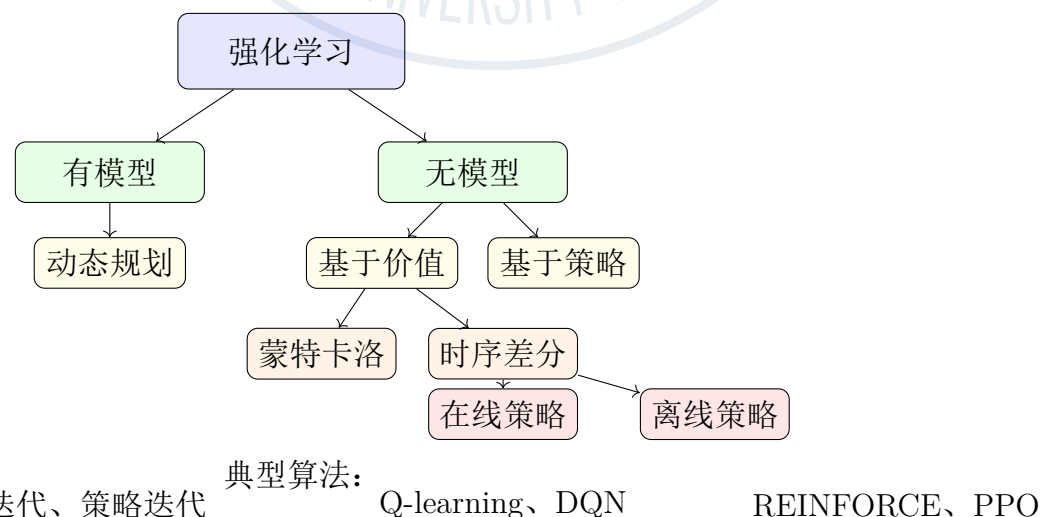


图 2.4: 强化学习算法分类树

2.7.2 强化学习的挑战与前沿

主要挑战

1. 样本效率：强化学习通常需要大量交互数据
 - 解决方法：经验回放、模型学习、模仿学习
2. 探索与利用的平衡
 - 解决方法： ϵ -贪婪、UCB、Thompson 采样、好奇心驱动探索
3. 稳定性与收敛性
 - 解决方法：目标网络、软更新、信任域方法
4. 稀疏奖励问题
 - 解决方法：课程学习、分层强化学习、内在动机
5. 安全性
 - 解决方法：约束强化学习、安全探索

前沿方向

1. 深度强化学习 (Deep RL): 将深度学习与强化学习结合
 - DQN: 深度 Q 网络，开启深度强化学习时代
 - AlphaGo: 结合蒙特卡洛树搜索与深度神经网络
 - AlphaZero: 从零开始自我对弈学习
2. 多智能体强化学习 (Multi-Agent RL)
 - 协作: 智能体协作完成共同任务
 - 竞争: 智能体在竞争环境中学习
 - 混合: 既有协作又有竞争
3. 元强化学习 (Meta-RL)
 - 目标: 学会如何快速学习新任务
 - 应用: Few-shot 学习、快速适应
4. 离线强化学习 (Offline RL)
 - 特点: 从固定的数据集学习，不与环境交互
 - 应用: 医疗、自动驾驶等高风险领域
5. 强化学习与大型语言模型结合
 - RLHF: 基于人类反馈的强化学习
 - 应用: ChatGPT 等对话系统的对齐

强化学习是一门理论与实践并重的学科，需要在理解数学原理的基础上，通过实际编码和调参来积累经验。随着计算能力的提升和算法的进步，强化学习正在越来越多的领域展现出强大的潜力。

第三章 深度强化学习之价值学习

3.1 价值学习：从评估到决策

3.1.1 价值学习的核心思想

在强化学习中，价值学习（Value-Based Learning）是一类重要的方法。与直接学习策略（策略学习）不同，价值学习的核心思想是学习一个价值函数（Value Function），这个函数用于评估在某个状态（或状态-动作对）下的“好坏”程度。

定义 3.1.1 (最优动作价值函数). 最优动作价值函数 $Q^*(s, a)$ 定义为在所有可能的策略中，从状态 s 开始、执行动作 a 后能获得的最大期望回报：

$$Q^*(s, a) = \max_{\pi} Q_{\pi}(s, a), \quad \forall s \in \mathcal{S}, a \in \mathcal{A}$$

其中 $Q_{\pi}(s, a)$ 是在策略 π 下的动作价值函数。

关键洞察：一旦我们知道了最优动作价值函数 $Q^*(s, a)$ ，最优策略就可以直接得到：在每个状态 s 下，选择使 $Q^*(s, a)$ 最大的动作：

$$\pi^*(s) = \arg \max_{a \in \mathcal{A}} Q^*(s, a)$$

价值学习的优点：

- **直观性：** Q 值直接反映了动作的“好坏”。
- **稳定性：** 相比策略学习方法，价值学习通常更稳定。
- **可解释性：** Q 值表或 Q 网络提供了对决策过程的直观理解。

价值学习的挑战：

- **维度灾难：** 当状态空间或动作空间很大时，存储所有状态-动作对的 Q 值变得不可行。
- **连续空间：** 对于连续状态或动作空间，无法枚举所有可能情况。
- **泛化能力：** 需要从有限的经验中泛化到未见过的状态。

3.2 Q-Learning: 经典的价值学习算法

3.2.1 算法原理

Q-Learning 是强化学习中最经典、最重要的算法之一。它是一种离线策略 (off-policy) 的时序差分 (Temporal Difference, TD) 学习方法。

定义 3.2.1 (Q-Learning 更新规则). *Q-Learning* 通过以下规则更新 Q 值估计:

$$Q(s, a) \leftarrow Q(s, a) + \alpha \left[r + \gamma \max_{a'} Q(s', a') - Q(s, a) \right]$$

其中:

- $\alpha \in (0, 1]$ 是学习率 (步长)
- $\gamma \in [0, 1]$ 是折扣因子
- r 是执行动作 a 后获得的即时奖励
- s' 是转移后的新状态
- $\max_{a'} Q(s', a')$ 是在新状态 s' 下所有可能动作的最大 Q 值

直观理解:

- $Q(s, a)$ 是当前对在状态 s 下执行动作 a 的价值的估计。
- $r + \gamma \max_{a'} Q(s', a')$ 是 TD 目标, 包含两部分:
 - 即时奖励 r
 - 折扣后的未来最大可能价值 $\gamma \max_{a'} Q(s', a')$
- $r + \gamma \max_{a'} Q(s', a') - Q(s, a)$ 是 TD 误差, 表示当前估计与目标之间的差距。
- 学习率 α 控制更新步长: α 越大, 更新越快, 但可能不稳定; α 越小, 更新越慢, 但更稳定。

3.2.2 表格 Q-Learning

在状态空间和动作空间都很小的情况下, 我们可以使用表格形式存储所有状态-动作对的 Q 值。

表 3.1: 表格 Q-Learning 中的 Q 值表示例

状态	动作 1	动作 2	动作 3	动作 4
状态 0	$Q(0, 1)$	$Q(0, 2)$	$Q(0, 3)$	$Q(0, 4)$
状态 1	$Q(1, 1)$	$Q(1, 2)$	$Q(1, 3)$	$Q(1, 4)$
状态 2	$Q(2, 1)$	$Q(2, 2)$	$Q(2, 3)$	$Q(2, 4)$
⋮	⋮	⋮	⋮	⋮
状态 m	$Q(m, 1)$	$Q(m, 2)$	$Q(m, 3)$	$Q(m, 4)$

Algorithm 1 表格 Q-Learning 算法

Require: 学习率 α , 折扣因子 γ , 探索率 ϵ

Ensure: 最优动作价值函数 $Q^*(s, a)$

1: 初始化 $Q(s, a)$ 为任意值 (通常为 0 或随机小值)

2: **for** 每个回合 (episode) **do**

3: 初始化状态 s

4: **while** s 不是终止状态 **do**

5: 根据 ϵ -贪婪策略从 s 选择动作 a :

$$a = \begin{cases} \text{随机动作} & \text{以概率 } \epsilon \\ \arg \max_{a'} Q(s, a') & \text{以概率 } 1 - \epsilon \end{cases}$$

6: 执行动作 a , 观察奖励 r 和新状态 s'

7: 更新 Q 值: $Q(s, a) \leftarrow Q(s, a) + \alpha[r + \gamma \max_{a'} Q(s', a') - Q(s, a)]$

8: $s \leftarrow s'$

9: **end while**

10: **end for**

3.2.3 探索与利用的平衡: ϵ -贪婪策略

在 Q-Learning 中, ϵ -贪婪策略用于平衡探索 (尝试新动作) 和利用 (选择已知最佳动作):

$$\pi(a|s) = \begin{cases} 1 - \epsilon + \frac{\epsilon}{|\mathcal{A}|} & \text{如果 } a = \arg \max_{a'} Q(s, a') \\ \frac{\epsilon}{|\mathcal{A}|} & \text{其他动作} \end{cases}$$

- $\epsilon \in [0, 1]$ 是探索率
- 以概率 $1 - \epsilon$ 选择当前认为最好的动作 (利用)
- 以概率 ϵ 随机选择动作 (探索)
- 通常随着训练进行, ϵ 会逐渐减小 (从高探索到高利用)

3.2.4 Q-Learning 与 SARSA 的比较

表 3.2: Q-Learning 与 SARSA 的比较

Q-Learning (离线策略)	SARSA (在线策略)
更新公式: $Q(s, a) \leftarrow Q(s, a) + \alpha[r + \gamma \max_{a'} Q(s', a') - Q(s, a)]$	更新公式: $Q(s, a) \leftarrow Q(s, a) + \alpha[r + \gamma Q(s', a') - Q(s, a)]$
目标策略: 贪婪策略 $\pi(s) = \arg \max_a Q(s, a)$	目标策略: 与行为策略相同 (通常为 ϵ -贪婪)
行为策略: ϵ -贪婪策略	行为策略: ϵ -贪婪策略
TD 目标: $r + \gamma \max_{a'} Q(s', a')$	TD 目标: $r + \gamma Q(s', a')$
学习对象: 最优 Q 函数 Q^*	学习对象: 当前策略的 Q 函数 Q_π
探索影响: 行为策略探索不影响目标策略	探索影响: 探索直接影响学习策略
收敛性: 收敛到最优策略 (在适当条件下)	收敛性: 收敛到 ϵ -贪婪策略的最优策略

关键区别:

- Q-Learning 在计算 TD 目标时使用 $\max_{a'} Q(s', a')$, 假设下一个动作是最优的。
- SARSA 在计算 TD 目标时使用实际采取的下一个动作 $Q(s', a')$, 更“谨慎”。
- 这导致 Q-Learning 更“乐观”, SARSA 更“保守”。

3.3 深度 Q 网络: 当 Q-Learning 遇见深度学习

3.3.1 表格方法的局限性

表格 Q-Learning 虽然直观, 但面临严重限制:

1. **维度灾难:** 状态空间随维度指数增长。例如:
 - 围棋: 10^{170} 个状态, 无法存储
 - Atari 游戏: $256^{84 \times 84}$ 个可能状态, 天文数字
 - 连续状态空间: 无限多个状态
2. **泛化能力差:** 每个状态-动作对独立学习, 无法泛化到相似状态。
3. **内存需求巨大:** 存储所有 Q 值需要大量内存。
4. **学习效率低:** 每个状态需要单独学习, 无法利用状态间的相似性。

3.3.2 深度 Q 网络的基本思想

深度 Q 网络 (Deep Q-Network, DQN) 的核心思想是用神经网络来近似 Q 函数, 从而解决维度灾难问题。

定义 3.3.1 (深度 Q 网络). 深度 Q 网络是一个参数化的函数 $Q(s, a; \theta)$, 其中 θ 是神经网络的参数。对于给定的状态 s , 网络输出所有可能动作的 Q 值:

$$f(s; \theta) \approx [Q(s, a_1), Q(s, a_2), \dots, Q(s, a_n)]$$

其中 n 是动作空间的大小。

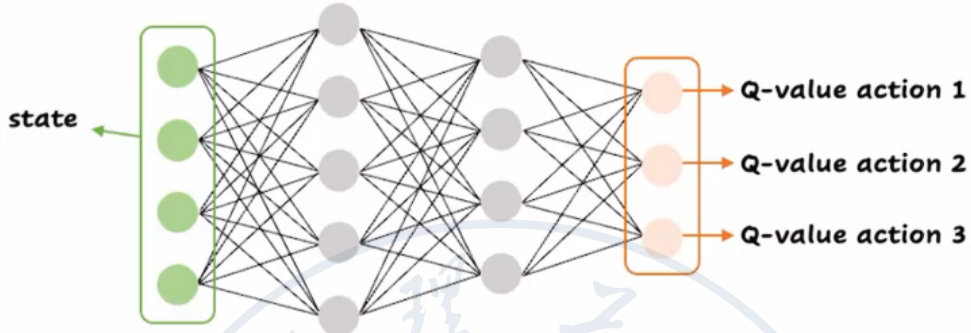


图 3.1: 深度 Q 网络结构示意图: 输入状态, 输出每个动作的 Q 值

网络架构:

- **输入:** 状态表示 (如图像像素、特征向量等)
- **隐藏层:** 多个全连接层或卷积层, 用于提取特征
- **输出层:** 每个输出节点对应一个动作的 Q 值

3.3.3 DQN 的训练目标与损失函数

DQN 的训练目标是找到参数 θ , 使得 $Q(s, a; \theta)$ 近似最优 Q 函数 $Q^*(s, a)$ 。

定义 3.3.2 (DQN 损失函数). 使用均方误差 (MSE) 作为损失函数:

$$L(\theta) = \mathbb{E}_{(s, a, r, s') \sim \mathcal{D}} [(Q(s, a; \theta) - y)^2]$$

其中:

- (s, a, r, s') 是从经验回放缓冲区 \mathcal{D} 中采样的转移
- y 是 TD 目标: $y = r + \gamma \max_{a'} Q(s', a'; \theta^-)$
- θ^- 是目标网络的参数 (与在线网络 θ 不同)

梯度计算:

$$\nabla_{\theta} L(\theta) = \mathbb{E}_{(s, a, r, s') \sim \mathcal{D}} [(Q(s, a; \theta) - y) \cdot \nabla_{\theta} Q(s, a; \theta)]$$

参数更新:

$$\theta \leftarrow \theta - \alpha \cdot \nabla_{\theta} L(\theta)$$

其中 α 是学习率。

3.3.4 DQN 的训练流程

Algorithm 2 深度 Q 网络 (DQN) 算法

Require: 经验回放缓冲区容量 N , 目标网络更新频率 C , 折扣因子 γ , 探索率 ϵ

- 1: 初始化在线网络 $Q(\cdot; \theta)$ 的参数 θ 随机
- 2: 初始化目标网络 $Q(\cdot; \theta^-)$ 的参数 $\theta^- \leftarrow \theta$
- 3: 初始化经验回放缓冲区 \mathcal{D} 为空, 容量为 N
- 4: **for** 每个回合 (episode) **do**
- 5: 初始化状态 s_1 和预处理 $\phi_1 = \phi(s_1)$
- 6: **for** $t = 1$ 到 T **do**
- 7: 以概率 ϵ 选择随机动作 a_t , 否则 $a_t = \arg \max_a Q(\phi(s_t), a; \theta)$
- 8: 执行动作 a_t , 观察奖励 r_t 和下一状态 s_{t+1}
- 9: 预处理 $\phi_{t+1} = \phi(s_{t+1})$
- 10: 存储转移 $(\phi_t, a_t, r_t, \phi_{t+1})$ 到 \mathcal{D}
- 11: 从 \mathcal{D} 中随机采样小批量转移 $(\phi_j, a_j, r_j, \phi_{j+1})$
- 12: 计算 TD 目标:

$$y_j = \begin{cases} r_j & \text{如果 } \phi_{j+1} \text{ 是终止状态} \\ r_j + \gamma \max_{a'} Q(\phi_{j+1}, a'; \theta^-) & \text{否则} \end{cases}$$

- 13: 计算损失: $L = \frac{1}{m} \sum_{j=1}^m (y_j - Q(\phi_j, a_j; \theta))^2$
 - 14: 使用梯度下降更新 θ
 - 15: 每 C 步更新目标网络: $\theta^- \leftarrow \theta$
 - 16: **end for**
 - 17: **end for**
-

3.4 DQN 的核心技术

3.4.1 经验回放 (Experience Replay)

经验回放是 DQN 成功的关键技术之一, 解决了两个核心问题:

1. **数据效率:** 每个转移可以被多次使用, 提高数据利用率。
2. **相关性破坏:** 随机采样打破了连续状态之间的相关性, 使训练更稳定。

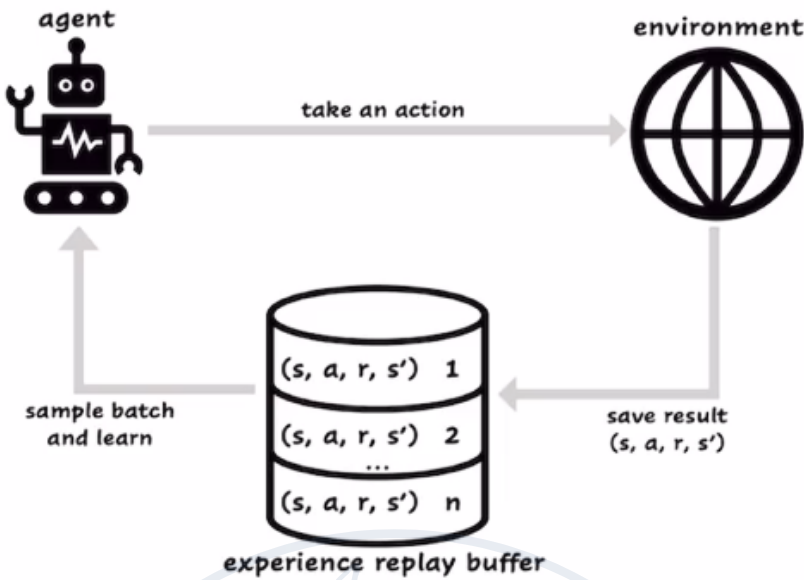


图 3.2: 经验回放机制: 存储历史转移并随机采样用于训练

定义 3.4.1 (经验回放缓冲区). 经验回放缓冲区 \mathcal{D} 是一个固定大小的循环缓冲区, 存储转移元组 $(s, a, r, s', done)$, 其中:

- s : 当前状态
- a : 执行的动作
- r : 获得的奖励
- s' : 转移后的新状态
- $done$: 是否到达终止状态

经验回放的工作原理:

1. 收集: 智能体与环境交互, 将每个转移存储到缓冲区。
2. 采样: 训练时随机从缓冲区采样小批量转移。
3. 学习: 使用采样到的转移计算损失并更新网络。

经验回放的优势:

- **打破相关性:** 连续的状态高度相关, 直接用于训练会导致梯度更新方向高度相关, 训练不稳定。
- **数据重用:** 每个转移可以被多次用于训练, 提高数据效率。
- **平滑分布:** 随机采样使数据分布更平稳, 减少方差。

3.4.2 目标网络 (Target Network)

目标网络是 DQN 的另一项关键技术, 解决了训练中的不稳定性问题。

定义 3.4.2 (目标网络). 目标网络 $Q(\cdot; \theta^-)$ 是与在线网络 $Q(\cdot; \theta)$ 结构相同的网络, 但参数更新更慢:

- 硬更新：每 C 步将在线网络的参数复制给目标网络： $\theta^- \leftarrow \theta$
- 软更新：每次迭代按比例更新： $\theta^- \leftarrow \tau\theta + (1 - \tau)\theta^-$ ，其中 $\tau \ll 1$

目标网络的作用：

1. 稳定训练：TD 目标 $y = r + \gamma \max_{a'} Q(s', a'; \theta^-)$ 在一段时间内固定，减少了目标的波动。
2. 避免发散：防止 Q 值估计的“追逐尾巴”现象（目标随估计不断变化，导致训练发散）。
3. 缓解过估计：目标网络使用旧参数，减少了最大化操作带来的过估计问题。

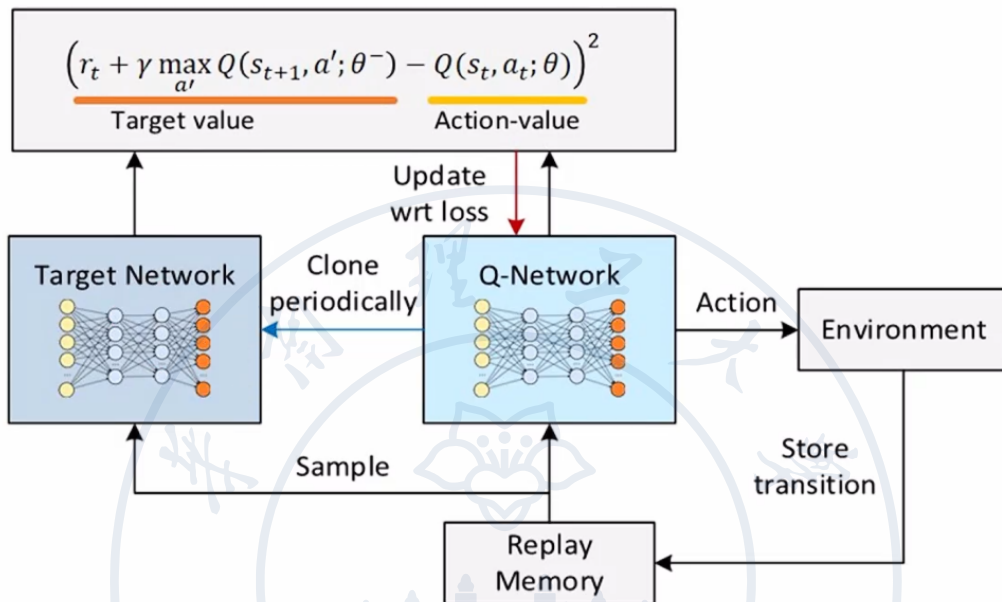


图 3.3: DQN 损失计算：使用目标网络计算 TD 目标

为什么需要目标网络？

考虑没有目标网络的情况：

$$y = r + \gamma \max_{a'} Q(s', a'; \theta)$$

损失函数：

$$L(\theta) = \mathbb{E}[(Q(s, a; \theta) - y)^2]$$

问题：目标 y 依赖于正在优化的参数 θ ，导致：

1. 目标不断变化，训练不稳定。
2. Q 值可能发散（“追逐尾巴”问题）。

使用目标网络后：

$$y = r + \gamma \max_{a'} Q(s', a'; \theta^-)$$

目标网络参数 θ^- 更新较慢，提供了更稳定的学习目标。

3.5 DQN 的改进与扩展

3.5.1 优先经验回放 (Prioritized Experience Replay)

标准经验回放均匀采样，但不同转移的重要性不同。优先经验回放根据 TD 误差的绝对值赋予不同采样优先级。

定义 3.5.1 (采样优先级). 转移 i 的采样概率为：

$$P(i) = \frac{p_i^\alpha}{\sum_k p_k^\alpha}$$

其中：

- p_i 是转移 i 的优先级
- $\alpha \in [0, 1]$ 控制优先程度的强度 ($\alpha = 0$ 时退化为均匀采样)

优先级计算方法：

1. 基于 TD 误差: $p_i = |\delta_i| + \epsilon$, 其中 δ_i 是转移 i 的 TD 误差, ϵ 是小的正常数。
2. 基于排名: $p_i = \frac{1}{\text{rank}(i)}$, 其中 $\text{rank}(i)$ 是基于 $|\delta_i|$ 的排名。

重要性采样权重：由于非均匀采样引入偏差，需要重要性采样权重校正：

$$w_i = \left(\frac{1}{N} \cdot \frac{1}{P(i)} \right)^\beta$$

其中 $\beta \in [0, 1]$ 控制校正程度，训练中从 $\beta_{\text{初始}}$ 线性增加到 1。

损失函数：

$$L(\theta) = \sum_{i=1}^m w_i \cdot (y_i - Q(s_i, a_i; \theta))^2$$

为什么重要性采样有效？

考虑两种学习方式：

1. 均匀采样：学习率 α , 用样本 (s_j, a_j, r_j, s_{j+1}) 更新一次。
2. 优先采样：学习率 $\alpha_j = w_j \cdot \alpha$, 用重要样本更新多次。

虽然学习率减小了，但重要样本被更频繁地使用，相当于用更多计算量从重要样本中提取更多信息。

3.5.2 Double DQN

标准 DQN 存在过估计 (overestimation) 问题：max 操作倾向于选择被高估的动作。

定理 3.5.1 (过估计定理). 设 X_1, \dots, X_n 是独立同分布的随机变量，均值为 μ ，方差为 σ^2 。则：

$$\mathbb{E}[\max(X_1, \dots, X_n)] \geq \mu$$

等号成立当且仅当 $n = 1$ 或 $\sigma^2 = 0$ 。

证明: 由 Jensen 不等式, \max 是凸函数, 所以 $\mathbb{E}[\max(X_i)] \geq \max(\mathbb{E}[X_i]) = \mu$ 。

在 DQN 中, Q 值估计包含噪声 (来自函数近似、环境随机性等), \max 操作会放大正误差, 导致过估计。

定义 3.5.2 (Double DQN). Double DQN (DDQN) 解耦动作选择和价值评估:

$$y = r + \gamma Q\left(s', \arg \max_{a'} Q(s', a'; \theta); \theta^-\right)$$

其中:

- 使用在线网络 θ 选择动作: $a^* = \arg \max_{a'} Q(s', a'; \theta)$
- 使用目标网络 θ^- 评估价值: $Q(s', a^*; \theta^-)$

表 3.3: 不同 Q-Learning 变种的比较

算法	动作选择	价值评估	过估计程度
原始 Q-Learning	DQN 网络	DQN 网络	严重
DQN+ 目标网络	目标网络	目标网络	中等
Double DQN	DQN 网络	目标网络	轻微

Double DQN 的优势:

1. 减少过估计, 提高价值估计的准确性。
2. 在某些任务上性能显著优于标准 DQN。
3. 实现简单, 只需修改 TD 目标计算方式。

3.5.3 Dueling DQN

Dueling DQN 改进了网络结构, 将 Q 值分解为状态价值 $V(s)$ 和优势函数 $A(s, a)$ 。

定义 3.5.3 (Dueling 架构).

$$Q(s, a; \theta, \alpha, \beta) = V(s; \theta, \beta) + A(s, a; \theta, \alpha) - \frac{1}{|\mathcal{A}|} \sum_{a'} A(s, a'; \theta, \alpha)$$

其中:

- $V(s; \theta, \beta)$: 状态价值函数, 评估状态 s 的好坏
- $A(s, a; \theta, \alpha)$: 优势函数, 评估动作 a 相对于平均水平的优势
- 减去的项确保优势函数的平均值为 0, 解决可识别性问题

可识别性问题: 如果直接定义 $Q(s, a) = V(s) + A(s, a)$, 那么对于常数 c , 有:

$$Q(s, a) = [V(s) + c] + [A(s, a) - c]$$

即 $V(s)$ 和 $A(s, a)$ 不唯一。通过减去优势函数的平均值解决这一问题。

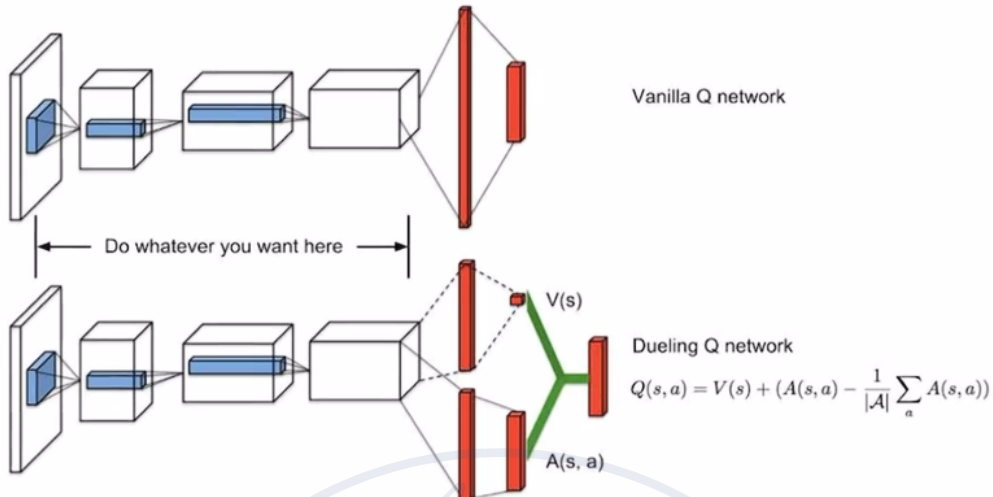


图 3.4: Dueling DQN 网络结构: 将 Q 值分解为状态价值和优势函数

Dueling DQN 的优势:

- 更好的泛化: 可以学习哪些状态有价值, 而不需要了解每个动作的影响。
- 更稳定的学习: 状态价值提供基线, 减少方差。
- 更好的策略评估: 在状态价值相似但动作价值不同的情况下表现更好。

3.5.4 Multi-Step DQN

标准 DQN 使用单步 TD 目标, 只考虑一步奖励。Multi-Step DQN 考虑多步奖励, 减少短视行为。

定义 3.5.4 (n 步 TD 目标). n 步 TD 目标考虑未来 n 步的奖励:

$$y_t^{(n)} = \sum_{i=0}^{n-1} \gamma^i r_{t+i} + \gamma^n \max_{a'} Q(s_{t+n}, a'; \theta^-)$$

特别地:

- $n = 1$: 标准 DQN, $y_t^{(1)} = r_t + \gamma \max_{a'} Q(s_{t+1}, a'; \theta^-)$
- $n = \infty$: 蒙特卡洛方法, 考虑整个回合的回报

多步学习的权衡:

- **偏差-方差权衡:** n 越大, 偏差越小 (使用更多真实奖励), 方差越大 (依赖更多随机步骤)。
- **更新延迟:** 需要等待 n 步后才能更新, 学习延迟增加。

实现方式:

1. 存储 n 步转移: $(s_t, a_t, r_t, \dots, r_{t+n-1}, s_{t+n})$

2. 计算 n 步 TD 目标
3. 用标准 DQN 方式更新

3.5.5 Noisy DQN

传统 ϵ -贪婪探索在动作空间添加噪声，Noisy DQN 在参数空间添加噪声，实现更高效的探索。

定义 3.5.5 (Noisy DQN). Noisy DQN 在网络的权重中添加可学习的噪声：

$$\tilde{Q}(s, a, \xi; \mu, \sigma) = Q(s, a; \mu + \sigma \odot \xi)$$

其中：

- μ 和 σ 是可学习的参数
- ξ 是随机噪声，从标准正态分布采样： $\xi \sim \mathcal{N}(0, 1)$
- \odot 表示逐元素乘法

噪声注入方式：

1. 因子化高斯噪声：减少参数数量，提高效率。
2. 独立高斯噪声：每个参数独立添加噪声。

训练过程：

1. 每个回合开始时采样噪声 ξ ，并在整个回合中固定。
2. 使用带噪声的网络选择动作： $a_t = \arg \max_a \tilde{Q}(s_t, a, \xi; \mu, \sigma)$
3. 收集经验并计算损失。
4. 通过损失函数同时优化 μ 和 σ 。

表 3.4: ϵ -贪婪与 Noisy DQN 的比较

ϵ -贪婪探索	Noisy DQN 探索
噪声位置：动作空间	噪声位置：参数空间
更新频率：每个时间步独立决定	更新频率：每个回合固定
探索连贯性：低（独立随机）	探索连贯性：高（连贯的探索方向）
探索与策略耦合：解耦	探索与策略耦合：强耦合（噪声是网络一部分）
学习稳定性：较低（频繁切换）	学习稳定性：较高（一致的方向）
超参数：需要手动调整 ϵ	超参数：噪声参数自动学习

3.5.6 Distributional DQN

传统 DQN 学习 Q 值的期望，Distributional DQN 学习 Q 值的完整分布。

定义 3.5.6 (价值分布). 价值分布 $Z(s, a)$ 是一个随机变量, 表示从状态 s 执行动作 a 后获得的随机回报。传统 Q 值是价值分布的期望:

$$Q(s, a) = \mathbb{E}[Z(s, a)]$$



图 3.5: Distributional DQN: 学习价值分布而非期望值

C51 算法

C51 (Categorical 51) 是 Distributional DQN 的一种实现, 使用 51 个类别的分类分布表示价值分布。

核心思想:

1. 将价值范围 $[V_{\min}, V_{\max}]$ 离散化为 $N = 51$ 个等间距的支持点 (atoms): $z_i = V_{\min} + i \cdot \Delta z$, 其中 $\Delta z = \frac{V_{\max} - V_{\min}}{N-1}$ 。
2. 对于每个状态-动作对, 网络输出这 51 个点的概率: $p_i(s, a) = \mathbb{P}(Z(s, a) = z_i)$ 。
3. 价值分布的期望为: $Q(s, a) = \sum_{i=1}^N p_i(s, a) \cdot z_i$ 。

投影贝尔曼更新: 对于转移 (s, a, r, s') , 目标分布为:

$$\mathcal{T}z_j = r + \gamma z_j$$

将 $\mathcal{T}z_j$ 投影到原始支持点上, 得到目标概率分布。

损失函数: 使用交叉熵损失:

$$L(\theta) = - \sum_{i=1}^N \hat{p}_i \log p_i(s, a; \theta)$$

其中 \hat{p}_i 是目标分布在第 i 个 atom 上的概率。

C51 的优势:

1. **更丰富的学习信号:** 分布提供比标量更多的信息。
2. **更好的风险意识:** 可以区分高方差和低方差情况。
3. **更稳定的训练:** 分布学习通常更稳定。

QR-DQN 和 IQN

除了 C51，还有其他分布 RL 算法：

- QR-DQN (Quantile Regression DQN): 学习价值分布的分位数。
- IQN (Implicit Quantile Networks): 隐式学习分位数，更灵活。

3.6 Rainbow: 集成多种改进

Rainbow 算法集成了 DQN 的六种主要改进：

1. 经验回放
2. 目标网络
3. Double DQN
4. Dueling 网络
5. Multi-Step 学习
6. Noisy 网络
7. Distributional RL

Rainbow 的关键设计：

1. 多步损失：使用 n 步 TD 目标。
2. 优先经验回放：使用分布 TD 误差作为优先级。
3. Noisy 网络：用于探索。
4. Distributional RL：学习价值分布。
5. Dueling 架构：分解状态价值和优势。
6. Double DQN：解耦动作选择和评估。

消融实验结果：

- 最大贡献：多步学习和优先经验回放。
- 中等贡献：Distributional RL 和 Noisy 网络。
- 较小贡献：Dueling 网络和 Double DQN。
- 组合效应：所有改进组合的效果远超单个改进。

3.7 总结与比较

3.7.1 DQN 变种对比

表 3.5: DQN 主要变种的比较

算法	核心创新	解决的问题	实现复杂度
DQN	神经网络近似 Q 函数	维度灾难, 连续状态空间	中等
优先经验回放	按 TD 误差优先级采样	样本效率低	低
Double DQN	解耦动作选择与评估	Q 值过估计	低
Dueling DQN	$Q=V+A$ 架构	状态价值与动作优势分离	低
Multi-Step DQN	n 步 TD 目标	短视偏差	低
Noisy DQN	参数空间噪声探索	探索效率低	中等
Distributional DQN	学习价值分布	风险意识, 丰富信号	高
Rainbow	集成所有改进	单一改进的局限性	高

3.7.2 实际应用建议

- 从标准 DQN 开始: 实现基础 DQN, 包含经验回放和目标网络。
- 逐步添加改进: 按优先级添加: Double DQN → 优先经验回放 → Multi-Step → 其他。
- 超参数调优:
 - 学习率: 通常 10^{-4} 到 10^{-3}
 - 折扣因子 γ : 0.99 (长期任务) 或 0.95 (短期任务)
 - 回放缓冲区大小: 10^5 到 10^6
 - 批量大小: 32 到 256
- 监控训练:
 - 观察回报曲线
 - 监控 Q 值范围 (避免发散)
 - 检查探索率衰减

3.7.3 未来方向

- 分布式强化学习: 多个智能体并行收集经验, 加速训练。
- 元强化学习: 学习快速适应新任务的能力。

3. 基于模型的 DQN：结合模型预测与价值学习。
4. 多任务学习：一个智能体学习多个相关任务。
5. 安全约束：在价值学习中加入安全约束。

价值学习作为强化学习的核心方法，从经典的 Q-Learning 到现代的 Rainbow，经历了显著的发展。理解这些算法的原理、优势和局限性，对于在实际问题中选择合适的算法至关重要。



第四章 深度强化学习之策略学习

4.1 引言：为什么需要策略学习？

4.1.1 价值学习方法的局限性

在前面的学习中，我们探讨了价值学习（Value-Based Learning）方法，如 Q-Learning、DQN 及其变种。这些方法通过学习价值函数（Value Function）来间接得到策略，其核心思想是：找到最优动作价值函数 $Q^*(s, a)$ ，然后通过贪心策略 $\pi^*(s) = \arg \max_a Q^*(s, a)$ 得到最优策略。

然而，价值学习方法在某些场景下存在明显局限性：

表 4.1: 价值学习方法的局限性

局限性类型	详细说明与示例
大动作空间问题	<ul style="list-style-type: none"> 当动作空间很大时，需要计算每个动作的 Q 值，计算成本高 例如：机器人控制可能有几十个连续关节，每个关节有多个自由度 在 Atari 游戏中，虽然动作空间有限，但某些游戏动作空间也很大
连续动作空间	<ul style="list-style-type: none"> 连续动作空间中无法通过 $\arg \max$ 选择动作 例如：自动驾驶的转向角度是连续值 机械臂控制的关节角度是连续值 需要额外的优化过程来找到最大化 Q 值的动作
随机策略表示困难	<ul style="list-style-type: none"> 某些问题的最优策略本质上是随机的 例如：石头剪刀布游戏中，最优策略是以 $1/3$ 概率选择每个动作 部分可观察马尔可夫决策过程（POMDP）中可能需要随机策略 探索时也需要一定随机性
策略表示受限	<ul style="list-style-type: none"> 通常只能表示确定性策略或 ϵ-贪婪策略 难以表示更复杂的策略形式 策略缺乏明确的概率解释

4.1.2 策略学习的优势

策略学习（Policy Learning）或策略梯度（Policy Gradient）方法直接对策略进行参数化和优化，具有以下优势：

- 直接优化目标：直接优化累积奖励，不通过价值函数作为中间步骤
- 自然处理连续动作：策略网络可以直接输出连续动作或动作分布参数
- 支持随机策略：策略网络可以直接输出动作的概率分布
- 更好的收敛性：在某些问题中，策略梯度方法有更好的收敛保证
- 探索与利用的自然平衡：随机策略本身带有探索性质

4.1.3 策略学习的基本框架

策略学习的核心思想是：使用参数化的函数（通常是神经网络）直接表示策略 $\pi_\theta(a|s)$ ，然后通过优化参数 θ 来最大化期望累积奖励。

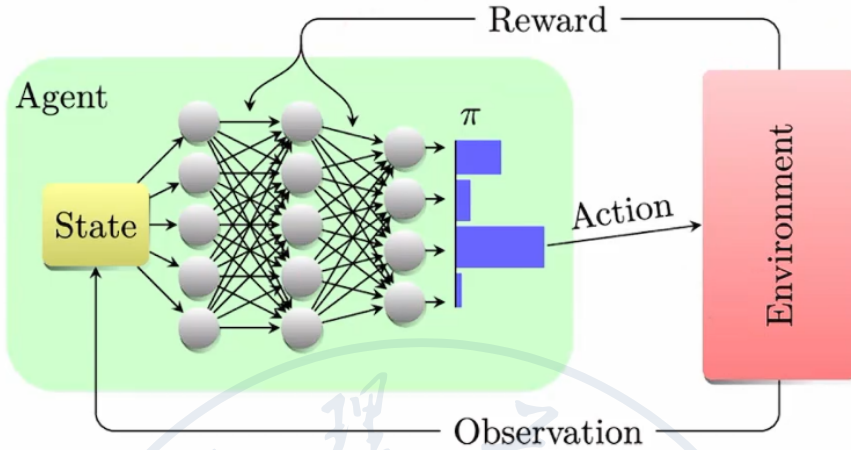


图 4.1: 策略网络：输入状态，输出动作的概率分布

策略网络 $\pi_\theta(a|s)$ 接收状态 s 作为输入，输出动作 a 的概率分布（对于离散动作空间）或动作分布的参数（对于连续动作空间）。

4.2 策略梯度定理：理论基础

4.2.1 目标函数的定义

我们的目标是最大化期望累积奖励。考虑折扣奖励情况，定义目标函数为：

$$J(\theta) = \mathbb{E}_{\tau \sim p_\theta(\tau)} \left[\sum_{t=0}^T \gamma^t r_{t+1} \right]$$

其中：

- $\tau = (s_0, a_0, r_1, s_1, a_1, r_2, \dots, s_T, a_T, r_{T+1})$ 是一条轨迹
- $p_\theta(\tau)$ 是在策略 π_θ 下生成轨迹 τ 的概率
- $\gamma \in [0, 1]$ 是折扣因子
- T 可以是有限的（分幕式任务）或无限的（持续式任务）

4.2.2 轨迹概率的分解

根据马尔可夫决策过程的性质，轨迹概率可以分解为：

$$p_\theta(\tau) = p(s_0) \prod_{t=0}^T \pi_\theta(a_t | s_t) p(s_{t+1} | s_t, a_t)$$

其中：

- $p(s_0)$ 是初始状态分布
- $\pi_\theta(a_t|s_t)$ 是策略在状态 s_t 下选择动作 a_t 的概率
- $p(s_{t+1}|s_t, a_t)$ 是状态转移概率

4.2.3 策略梯度推导

我们需要计算目标函数 $J(\theta)$ 关于参数 θ 的梯度。直接计算梯度很困难，因为目标函数中包含对轨迹的期望。策略梯度定理提供了计算这个梯度的方法。

定理 4.2.1 (策略梯度定理). 对于参数化的策略 $\pi_\theta(a|s)$ ，目标函数 $J(\theta)$ 的梯度为：

$$\nabla_\theta J(\theta) = \mathbb{E}_{\tau \sim p_\theta(\tau)} \left[\left(\sum_{t=0}^T \nabla_\theta \log \pi_\theta(a_t|s_t) \right) \left(\sum_{t=0}^T \gamma^t r_{t+1} \right) \right]$$

证明：

$$\begin{aligned} \nabla_\theta J(\theta) &= \nabla_\theta \mathbb{E}_{\tau \sim p_\theta(\tau)} \left[\sum_{t=0}^T \gamma^t r_{t+1} \right] \\ &= \nabla_\theta \int p_\theta(\tau) R(\tau) d\tau \quad (\text{其中 } R(\tau) = \sum_{t=0}^T \gamma^t r_{t+1}) \\ &= \int \nabla_\theta p_\theta(\tau) R(\tau) d\tau \\ &= \int p_\theta(\tau) \nabla_\theta \log p_\theta(\tau) R(\tau) d\tau \quad (\text{使用对数导数技巧}) \\ &= \mathbb{E}_{\tau \sim p_\theta(\tau)} [\nabla_\theta \log p_\theta(\tau) R(\tau)] \end{aligned}$$

接下来计算 $\nabla_\theta \log p_\theta(\tau)$ ：

$$\begin{aligned} \log p_\theta(\tau) &= \log p(s_0) + \sum_{t=0}^T [\log \pi_\theta(a_t|s_t) + \log p(s_{t+1}|s_t, a_t)] \\ \nabla_\theta \log p_\theta(\tau) &= \sum_{t=0}^T \nabla_\theta \log \pi_\theta(a_t|s_t) \end{aligned}$$

因为 $\log p(s_0)$ 和 $\log p(s_{t+1}|s_t, a_t)$ 与 θ 无关，所以它们的梯度为零。代入得：

$$\nabla_\theta J(\theta) = \mathbb{E}_{\tau \sim p_\theta(\tau)} \left[\left(\sum_{t=0}^T \nabla_\theta \log \pi_\theta(a_t|s_t) \right) R(\tau) \right]$$

证毕。

4.2.4 直观理解

策略梯度定理可以直观地理解：

- $\nabla_{\theta} \log \pi_{\theta}(a_t | s_t)$ 是指数族分布的性质，表示在当前参数下，增加动作 a_t 在状态 s_t 下概率的方向
- $R(\tau)$ 是整条轨迹的回报，作为权重
- 如果一条轨迹的回报 $R(\tau)$ 很高，就增加这条轨迹中所有动作的概率
- 如果一条轨迹的回报 $R(\tau)$ 很低，就减少这条轨迹中所有动作的概率

4.3 REINFORCE 算法：蒙特卡洛策略梯度

4.3.1 基本 REINFORCE 算法

REINFORCE (REward Increment = Nonnegative Factor \times Offset Reinforcement \times Characteristic Eligibility) 是最基础的策略梯度算法。它直接使用蒙特卡洛采样来估计策略梯度。

Algorithm 3 REINFORCE 算法

Require: 策略参数 θ , 学习率 α , 折扣因子 γ

Ensure: 最优策略参数 θ^*

- 1: 初始化策略参数 θ
 - 2: **for** 每个回合 (episode) **do**
 - 3: 使用当前策略 π_{θ} 生成一条轨迹: $\tau = (s_0, a_0, r_1, s_1, a_1, r_2, \dots, s_T, a_T, r_{T+1})$
 - 4: 计算轨迹回报: $R(\tau) = \sum_{t=0}^T \gamma^t r_{t+1}$
 - 5: **for** $t = 0$ 到 T **do**
 - 6: 计算梯度: $g_t = \nabla_{\theta} \log \pi_{\theta}(a_t | s_t)$
 - 7: **end for**
 - 8: 估计梯度: $\nabla_{\theta} J(\theta) \approx \left(\sum_{t=0}^T g_t \right) R(\tau)$
 - 9: 更新参数: $\theta \leftarrow \theta + \alpha \nabla_{\theta} J(\theta)$
 - 10: **end for**
-

4.3.2 REINFORCE 的改进：因果关系修正

基本 REINFORCE 算法有一个问题：在时刻 t 采取的动作 a_t 不应该影响 t 时刻之前的奖励。因此，我们使用从时刻 t 开始的折扣回报：

$$G_t = \sum_{k=t}^T \gamma^{k-t} r_{k+1}$$

改进后的策略梯度为：

$$\nabla_{\theta} J(\theta) = \mathbb{E}_{\tau \sim p_{\theta}(\tau)} \left[\sum_{t=0}^T \nabla_{\theta} \log \pi_{\theta}(a_t | s_t) G_t \right]$$

对应的算法更新为：

Algorithm 4 REINFORCE with Causality

Require: 策略参数 θ , 学习率 α , 折扣因子 γ

```

1: 初始化策略参数  $\theta$ 
2: for 每个回合 (episode) do
3:   使用当前策略  $\pi_{\theta}$  生成一条轨迹:  $\tau = (s_0, a_0, r_1, s_1, a_1, r_2, \dots, s_T, a_T, r_{T+1})$ 
4:   计算每个时刻的回报  $G_t$ :
5:   for  $t = T$  到 0 (反向计算) do
6:     if  $t = T$  then
7:        $G_T = r_{T+1}$ 
8:     else
9:        $G_t = r_{t+1} + \gamma G_{t+1}$ 
10:    end if
11:   end for
12:   for  $t = 0$  到  $T$  do
13:     计算梯度:  $g_t = \nabla_{\theta} \log \pi_{\theta}(a_t | s_t)$ 
14:     更新参数:  $\theta \leftarrow \theta + \alpha g_t G_t$ 
15:   end for
16: end for

```

4.3.3 REINFORCE 的改进：引入基线

REINFORCE 算法的另一个问题是高方差。即使使用因果关系修正，回报 G_t 的方差仍然很大。为了降低方差，我们引入基线（baseline） $b(s_t)$ ：

$$\nabla_{\theta} J(\theta) = \mathbb{E}_{\tau \sim p_{\theta}(\tau)} \left[\sum_{t=0}^T \nabla_{\theta} \log \pi_{\theta}(a_t | s_t) (G_t - b(s_t)) \right]$$

基线 $b(s_t)$ 可以是任何不依赖于动作 a_t 的函数。常用的基线是状态值函数 $V(s_t)$ 的估计。可以证明，只要基线不依赖于动作，引入基线不会改变梯度的期望值：

证明.

$$\begin{aligned}
 \mathbb{E}_{\tau \sim p_\theta(\tau)} \left[\sum_{t=0}^T \nabla_\theta \log \pi_\theta(a_t | s_t) b(s_t) \right] &= \sum_{t=0}^T \mathbb{E}_{s_t} [\mathbb{E}_{a_t \sim \pi_\theta(\cdot | s_t)} [\nabla_\theta \log \pi_\theta(a_t | s_t)]] \\
 &= \sum_{t=0}^T \mathbb{E}_{s_t} [b(s_t) \mathbb{E}_{a_t \sim \pi_\theta(\cdot | s_t)} [\nabla_\theta \log \pi_\theta(a_t | s_t)]] \\
 &= \sum_{t=0}^T \mathbb{E}_{s_t} [b(s_t) \cdot 0] = 0
 \end{aligned}$$

□

最简单的基线是平均回报: $b = \frac{1}{N} \sum_{i=1}^N R(\tau^i)$ 。改进后的 REINFORCE 算法:

Algorithm 5 REINFORCE with Baseline

Require: 策略参数 θ , 学习率 α , 折扣因子 γ

- 1: 初始化策略参数 θ
 - 2: **for** 每个回合 (episode) **do**
 - 3: 使用当前策略 π_θ 生成一条轨迹, 计算 G_t
 - 4: 计算基线 b (可以使用多个轨迹的平均回报)
 - 5: **for** $t = 0$ 到 T **do**
 - 6: 计算优势: $A_t = G_t - b$
 - 7: 计算梯度: $g_t = \nabla_\theta \log \pi_\theta(a_t | s_t)$
 - 8: 更新参数: $\theta \leftarrow \theta + \alpha g_t A_t$
 - 9: **end for**
 - 10: **end for**
-

4.3.4 REINFORCE 的优缺点

表 4.2: REINFORCE 算法的优缺点

优点	缺点
简单直观, 易于实现	高方差, 训练不稳定
可以处理连续动作空间	样本效率低 (需要完整轨迹)
可以学习随机策略	更新频率低 (每回合更新一次)
理论上收敛保证	对超参数敏感
探索充分 (通过随机策略)	可能收敛到局部最优

4.4 Actor-Critic 方法：结合价值函数

4.4.1 Actor-Critic 基本思想

REINFORCE 算法使用蒙特卡洛方法估计回报 G_t ，虽然无偏但方差大。Actor-Critic 方法引入价值函数（Critic）来估计优势函数，从而降低方差。

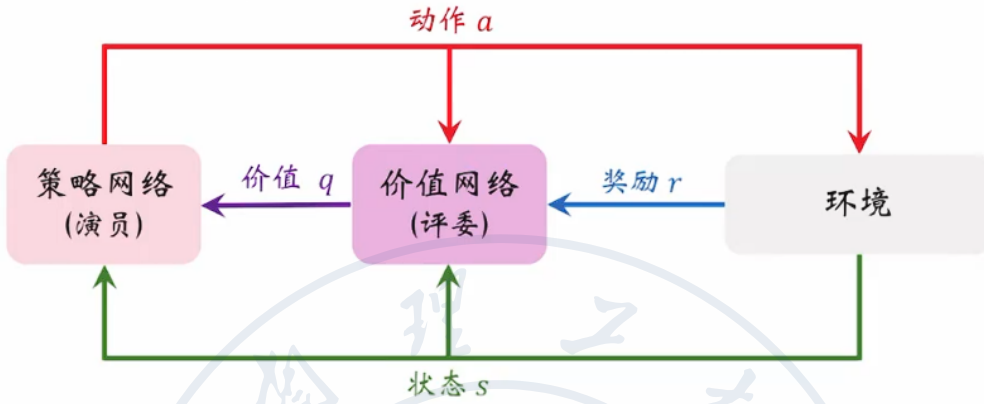


图 4.2: Actor-Critic 框架示意图

Actor-Critic 方法包含两个组件：

- **Actor** (演员): 策略网络 $\pi_\theta(a|s)$, 负责选择动作
- **Critic** (评论家): 价值网络 $V_\phi(s)$, 负责评估状态的价值

4.4.2 优势函数 (Advantage Function)

在 Actor-Critic 中，我们使用优势函数 $A(s_t, a_t)$ 替代回报 G_t :

$$A(s_t, a_t) = Q(s_t, a_t) - V(s_t)$$

其中 $Q(s_t, a_t)$ 是动作价值函数， $V(s_t)$ 是状态价值函数。优势函数表示在状态 s_t 下执行动作 a_t 相对于平均水平的优势。

在实际中，我们使用时序差分 (TD) 误差来估计优势函数：

$$A(s_t, a_t) \approx r_{t+1} + \gamma V(s_{t+1}) - V(s_t)$$

4.4.3 Actor-Critic 算法

Algorithm 6 Actor-Critic 算法

Require: 策略参数 θ , 价值参数 ϕ , 学习率 $\alpha_\theta, \alpha_\phi$, 折扣因子 γ

- 1: 初始化策略参数 θ 和价值参数 ϕ
 - 2: **for** 每个时间步 **do**
 - 3: 在状态 s_t , 根据策略 $\pi_\theta(\cdot|s_t)$ 选择动作 a_t
 - 4: 执行动作 a_t , 获得奖励 r_{t+1} , 转移到新状态 s_{t+1}
 - 5: 计算 TD 误差: $\delta_t = r_{t+1} + \gamma V_\phi(s_{t+1}) - V_\phi(s_t)$
 - 6: 更新 Critic: $\phi \leftarrow \phi + \alpha_\phi \delta_t \nabla_\phi V_\phi(s_t)$
 - 7: 更新 Actor: $\theta \leftarrow \theta + \alpha_\theta \nabla_\theta \log \pi_\theta(a_t|s_t) \delta_t$
 - 8: **end for**
-

4.4.4 Actor-Critic 的优缺点

表 4.3: Actor-Critic 算法的优缺点

优点	缺点
方差低, 训练稳定	有偏差 (依赖价值函数估计)
样本效率高 (单步更新)	需要同时训练两个网络
可以处理连续任务	可能不稳定 (两个网络相互影响)
更新频率高 (每一步更新)	超参数更多 (两个学习率)

4.5 A2C 和 A3C: 并行化 Actor-Critic

4.5.1 优势 Actor-Critic (A2C)

A2C (Advantage Actor-Critic) 是 Actor-Critic 的改进版本, 主要改进包括:

1. 明确使用优势函数: 使用 $A(s_t, a_t) = r_{t+1} + \gamma V(s_{t+1}) - V(s_t)$
2. 多步回报: 使用 n 步回报来估计优势函数
3. 并行训练: 多个环境并行收集数据

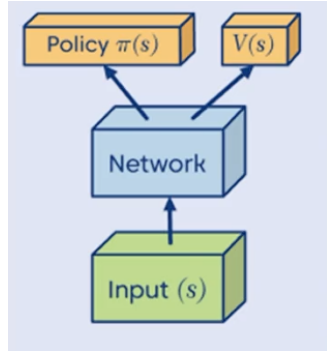


图 4.3: A2C 架构示意图: 多个 Worker 并行收集数据, 同步更新

4.5.2 A2C 算法

Algorithm 7 A2C 算法

Require: 全局策略参数 θ , 全局价值参数 ϕ , 学习率 $\alpha_\theta, \alpha_\phi$, 折扣因子 γ , Worker 数量 N

- 1: 初始化全局参数 θ, ϕ
 - 2: **repeat**
 - 3: 重置所有 Worker 的梯度: $d\theta \leftarrow 0, d\phi \leftarrow 0$
 - 4: 同步所有 Worker 参数: $\theta_i \leftarrow \theta, \phi_i \leftarrow \phi$
 - 5: **for** 每个 Worker $i = 1$ 到 N **do**
 - 6: Worker i 运行策略 π_{θ_i} 收集轨迹数据
 - 7: 计算优势估计 A_t (可以使用 n 步回报或 GAE)
 - 8: 计算策略梯度: $d\theta_i = \sum_t \nabla_{\theta_i} \log \pi_{\theta_i}(a_t | s_t) A_t$
 - 9: 计算价值梯度: $d\phi_i = \sum_t \nabla_{\phi_i} (V_{\phi_i}(s_t) - R_t)^2$
 - 10: **end for**
 - 11: 汇总梯度: $d\theta = \frac{1}{N} \sum_i d\theta_i, d\phi = \frac{1}{N} \sum_i d\phi_i$
 - 12: 更新全局参数: $\theta \leftarrow \theta + \alpha_\theta d\theta, \phi \leftarrow \phi + \alpha_\phi d\phi$
 - 13: **until** 收敛
-

4.5.3 异步优势 Actor-Critic (A3C)

A3C (Asynchronous Advantage Actor-Critic) 是 A2C 的异步版本。在 A3C 中, 每个 Worker 异步地更新全局网络参数, 不需要等待其他 Worker。

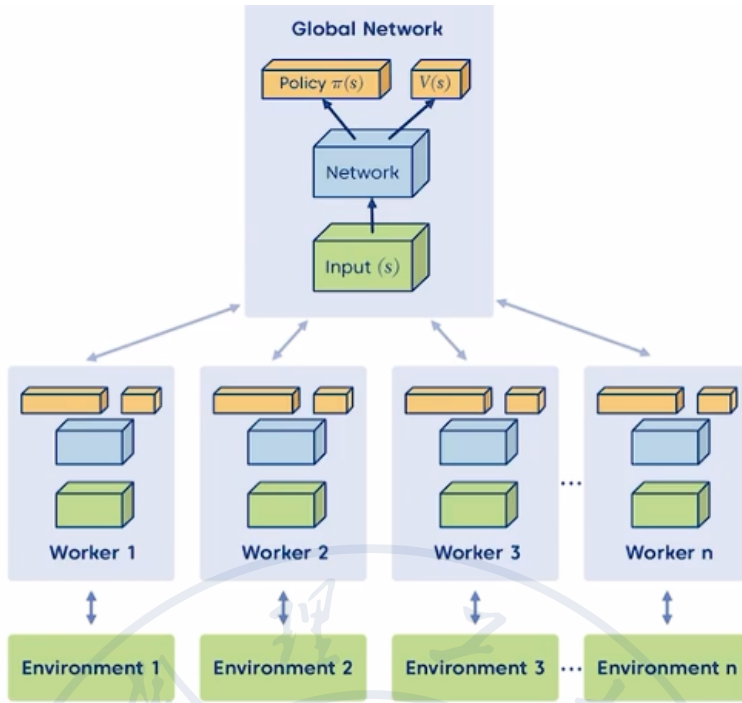


图 4.4: A3C 架构示意图: 多个 Worker 异步更新全局网络

A3C 的关键特点:

- **异步更新:** Worker 独立运行, 不需要同步
- **探索多样性:** 不同 Worker 可能处于不同状态, 增加探索
- **硬件效率:** 充分利用多核 CPU

4.5.4 A2C vs A3C 比较

表 4.4: A2C 与 A3C 比较

特性	A2C	A3C
更新方式	同步	异步
通信开销	高 (需要同步)	低 (异步)
实现复杂度	较低	较高
收敛速度	稳定但可能较慢	可能更快但波动大
硬件利用	需要同步, 效率较低	充分利用多核, 效率高
探索多样性	一般	好 (不同 Worker 不同状态)

4.6 TRPO：置信域策略优化

4.6.1 TRPO 的基本思想

TRPO (Trust Region Policy Optimization) 的核心思想是：在策略更新时，限制新策略与旧策略的差异，确保每次更新都在一个“可信赖”的区域内，从而保证策略性能单调提升。

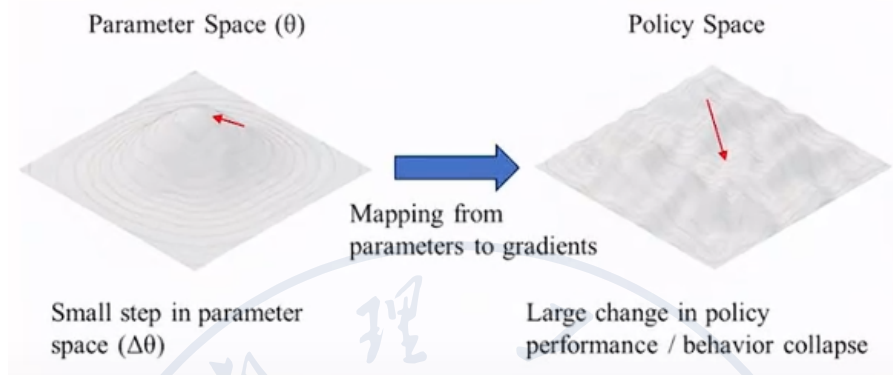


图 4.5: TRPO 的置信域优化：限制策略更新幅度

4.6.2 TRPO 的数学形式

TRPO 将策略优化问题形式化为带约束的优化问题：

$$\begin{aligned} \max_{\theta} \quad & \mathbb{E}_{s \sim \rho_{\theta_{\text{old}}}, a \sim \pi_{\theta_{\text{old}}}} \left[\frac{\pi_{\theta}(a|s)}{\pi_{\theta_{\text{old}}}(a|s)} A_{\theta_{\text{old}}}(s, a) \right] \\ \text{s.t.} \quad & \mathbb{E}_{s \sim \rho_{\theta_{\text{old}}}} [D_{\text{KL}}(\pi_{\theta_{\text{old}}}(\cdot|s) \| \pi_{\theta}(\cdot|s))] \leq \delta \end{aligned}$$

其中：

- $\rho_{\theta_{\text{old}}}$ 是旧策略下的状态分布
- D_{KL} 是 KL 散度，度量两个策略的差异
- δ 是置信域半径，限制策略更新的幅度

4.6.3 重要性采样 (Importance Sampling)

TRPO 使用重要性采样来利用旧策略收集的数据评估新策略：

$$\mathbb{E}_{a \sim \pi_{\theta}(\cdot|s)} [A(s, a)] = \mathbb{E}_{a \sim \pi_{\theta_{\text{old}}}(\cdot|s)} \left[\frac{\pi_{\theta}(a|s)}{\pi_{\theta_{\text{old}}}(a|s)} A(s, a) \right]$$

重要性采样比率 $\frac{\pi_{\theta}(a|s)}{\pi_{\theta_{\text{old}}}(a|s)}$ 衡量了新策略与旧策略在动作选择上的差异。

4.6.4 代理目标函数 (Surrogate Objective)

TRPO 优化的是代理目标函数:

$$L(\theta) = \mathbb{E}_{s \sim \rho_{\theta_{\text{old}}}, a \sim \pi_{\theta_{\text{old}}}} \left[\frac{\pi_{\theta}(a|s)}{\pi_{\theta_{\text{old}}}(a|s)} A_{\theta_{\text{old}}}(s, a) \right]$$

这个代理目标函数是原始目标函数 $J(\theta)$ 的一阶近似。

4.6.5 TRPO 的求解

TRPO 的约束优化问题通过以下步骤求解:

1. 线性化目标函数: $L(\theta) \approx g^T(\theta - \theta_{\text{old}})$
2. 二次化约束: $\frac{1}{2}(\theta - \theta_{\text{old}})^T H(\theta - \theta_{\text{old}}) \leq \delta$
3. 求解约束优化问题: $\theta^* = \theta_{\text{old}} + \sqrt{\frac{2\delta}{g^T H^{-1} g}} H^{-1} g$

其中 $g = \nabla_{\theta} L(\theta)|_{\theta=\theta_{\text{old}}}$ 是梯度, H 是 KL 散度的 Hessian 矩阵 (Fisher 信息矩阵)。

在实际实现中, 使用共轭梯度法计算 $H^{-1}g$, 避免直接计算和存储 H^{-1} 。

4.6.6 TRPO 算法

Algorithm 8 TRPO 算法

Require: 初始策略参数 θ_0 , 置信域半径 δ , 回溯系数 α

- 1: **for** $k = 0, 1, 2, \dots$ **do**
 - 2: 使用策略 π_{θ_k} 收集轨迹数据
 - 3: 估计优势函数 $A_{\theta_k}(s, a)$
 - 4: 计算代理目标 $L(\theta)$ 和其梯度 g
 - 5: 使用共轭梯度法计算更新方向 $v \approx H^{-1}g$
 - 6: 计算步长 $\beta = \sqrt{\frac{2\delta}{v^T H v}}$
 - 7: 候选参数: $\theta_{\text{candidate}} = \theta_k + \beta v$
 - 8: 回溯线性搜索: 找到最大的 α^j 使得 $L(\theta_k + \alpha^j \beta v) \geq L(\theta_k)$ 且满足 KL 约束
 - 9: 更新参数: $\theta_{k+1} = \theta_k + \alpha^j \beta v$
 - 10: **end for**
-

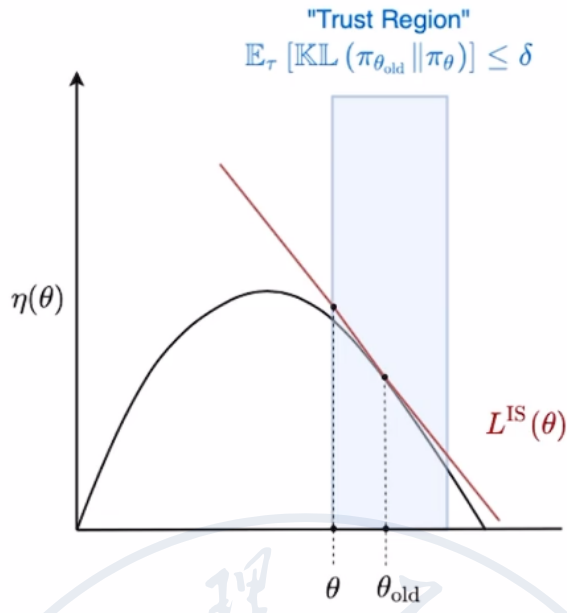


图 4.6: TRPO 的置信域优化过程

4.6.7 TRPO 的优缺点

表 4.5: TRPO 算法的优缺点

优点	缺点
理论保证单调提升	计算复杂，需要二阶优化
更新稳定，避免策略崩溃	实现难度大
适用于复杂任务	与某些网络结构不兼容（如 dropout）
样本效率较高	超参数敏感（置信域半径 δ ）

4.7 PPO：近端策略优化

4.7.1 PPO 的基本思想

PPO (Proximal Policy Optimization) 是 TRPO 的简化版本，通过修改目标函数来实现策略更新的约束，避免了 TRPO 中复杂的二阶优化。

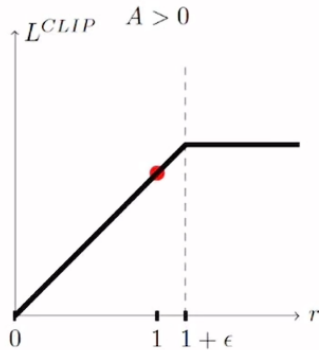


图 4.7: PPO 的裁剪机制: 限制重要性采样比率

4.7.2 PPO-Clip 目标函数

PPO-Clip 通过裁剪重要性采样比率来限制策略更新:

$$L^{\text{CLIP}}(\theta) = \mathbb{E}_t [\min(r_t(\theta)A_t, \text{clip}(r_t(\theta), 1 - \epsilon, 1 + \epsilon)A_t)]$$

其中:

- $r_t(\theta) = \frac{\pi_\theta(a_t|s_t)}{\pi_{\theta_{\text{old}}}(a_t|s_t)}$ 是重要性采样比率
- A_t 是优势函数估计
- ϵ 是裁剪参数, 通常取 0.1 或 0.2
- $\text{clip}(x, a, b)$ 将 x 限制在 $[a, b]$ 区间内

4.7.3 PPO-Clip 的直观理解

- 当 $A_t > 0$ 时, 动作 a_t 优于平均水平, 我们希望增加其概率
 - 如果 $r_t(\theta) < 1 + \epsilon$, 使用 $r_t(\theta)A_t$
 - 如果 $r_t(\theta) \geq 1 + \epsilon$, 使用 $(1 + \epsilon)A_t$, 限制更新幅度
- 当 $A_t < 0$ 时, 动作 a_t 劣于平均水平, 我们希望减少其概率
 - 如果 $r_t(\theta) > 1 - \epsilon$, 使用 $r_t(\theta)A_t$
 - 如果 $r_t(\theta) \leq 1 - \epsilon$, 使用 $(1 - \epsilon)A_t$, 限制更新幅度

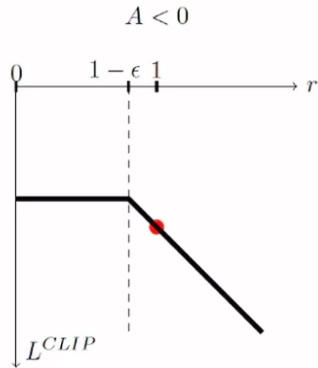


图 4.8: PPO-Clip 目标函数的两种情况

4.7.4 PPO-Penalty 目标函数

PPO-Penalty 通过在目标函数中添加 KL 散度惩罚项来约束策略更新:

$$L^{\text{KL}}(\theta) = \mathbb{E}_t [r_t(\theta)A_t - \beta D_{\text{KL}}(\pi_{\theta_{\text{old}}}(\cdot|s_t) \parallel \pi_{\theta}(\cdot|s_t))]$$

其中 β 是自适应参数，根据 KL 散度的大小调整。

4.7.5 广义优势估计 (GAE)

GAE (Generalized Advantage Estimation) 是一种权衡偏差和方差的优势估计方法:

$$\hat{A}_t^{\text{GAE}(\gamma, \lambda)} = \sum_{l=0}^{\infty} (\gamma \lambda)^l \delta_{t+l}$$

其中 $\delta_t = r_t + \gamma V(s_{t+1}) - V(s_t)$ 是 TD 误差。

GAE 的参数 λ 控制偏差-方差权衡:

- $\lambda = 0$: $\hat{A}_t = \delta_t$, 方差小但偏差大
- $\lambda = 1$: $\hat{A}_t = \sum_{l=0}^{\infty} \gamma^l \delta_{t+l}$, 偏差小但方差大
- 通常取 $\lambda = 0.95$ 或 0.97 , 平衡偏差和方差

4.7.6 PPO 算法

Algorithm 9 PPO-Clip 算法

Require: 初始策略参数 θ_0 , 初始价值参数 ϕ_0 , 裁剪参数 ϵ , 学习率 α

- 1: **for** $k = 0, 1, 2, \dots$ **do**
- 2: 使用策略 π_{θ_k} 收集轨迹数据 \mathcal{D}_k
- 3: 计算优势估计 \hat{A}_t (使用 GAE)
- 4: 计算目标价值 $\hat{V}_t = \hat{A}_t + V_{\phi_k}(s_t)$
- 5: 优化 PPO-Clip 目标函数 (多个 epoch):

$$\theta_{k+1} = \arg \max_{\theta} \frac{1}{|\mathcal{D}_k|T} \sum_{\tau \in \mathcal{D}_k} \sum_{t=0}^T \min \left(r_t(\theta) \hat{A}_t, \text{clip}(r_t(\theta), 1 - \epsilon, 1 + \epsilon) \hat{A}_t \right)$$

- 6: 优化价值函数 (多个 epoch):

$$\phi_{k+1} = \arg \min_{\phi} \frac{1}{|\mathcal{D}_k|T} \sum_{\tau \in \mathcal{D}_k} \sum_{t=0}^T \left(V_{\phi}(s_t) - \hat{V}_t \right)^2$$

- 7: **end for**
-

4.7.7 联合损失函数

在实际实现中, PPO 通常使用联合损失函数, 同时优化策略和价值函数:

$$L(\theta, \phi) = L^{\text{CLIP}}(\theta) - c_1 L^{\text{VF}}(\phi) + c_2 S[\pi_{\theta}](s_t)$$

其中:

- $L^{\text{CLIP}}(\theta)$ 是 PPO-Clip 策略损失
- $L^{\text{VF}}(\phi) = (V_{\phi}(s_t) - V_t^{\text{target}})^2$ 是价值函数损失
- $S[\pi_{\theta}](s_t)$ 是策略熵, 鼓励探索
- c_1, c_2 是系数, 平衡不同项

4.7.8 PPO 的优缺点

表 4.6: PPO 算法的优缺点

优点	缺点
实现简单，计算效率高	理论保证较弱
性能稳定，适用于多种任务	超参数较多 ($\epsilon, c_1, c_2, \lambda$ 等)
样本效率高	对超参数敏感
与多种网络结构兼容	可能收敛到局部最优
支持连续和离散动作空间	需要调整学习率调度

4.8 策略学习方法的比较与应用

4.8.1 方法对比

表 4.7: 策略学习方法对比

方法	核心思想	优点	缺点	适用场景
REINFORCE	蒙特卡洛策略梯度	简单，无偏	高方差，低效	简单任务，探索算法
Actor-Critic	价值函数引导	方差低，高效	有偏差，不稳定	中等复杂度任务
A2C/A3C	并行化 AC	稳定，高效	实现复杂	需要并行化的任务
TRPO	置信域优化	理论保证，稳定	计算复杂	高精度控制任务
PPO	裁剪目标函数	简单高效，稳定	超参数多	通用强化学习任务

4.8.2 选择指南

- 简单任务：可以从 REINFORCE 或 Actor-Critic 开始
- 中等复杂度任务：推荐使用 A2C 或 PPO
- 复杂控制任务：考虑 TRPO 或 PPO
- 需要高样本效率：使用 PPO with GAE
- 计算资源有限：使用 PPO（实现简单）
- 需要理论保证：使用 TRPO

4.8.3 实际应用建议

- 网络架构：

- 使用共享主干网络提取特征
 - 策略头输出动作分布参数
 - 价值头输出状态价值
 - 适当使用归一化技术
- 超参数调优:
 - 学习率: 通常 10^{-4} 到 10^{-3}
 - 折扣因子 γ : 0.99 (长期任务) 或 0.95 (短期任务)
 - PPO 裁剪参数 ϵ : 0.1 到 0.3
 - GAE 参数 λ : 0.9 到 0.99
 - 批量大小: 128 到 2048
 - 训练技巧:
 - 使用多个环境并行收集数据
 - 适当增加熵奖励鼓励探索
 - 使用学习率衰减
 - 监控 KL 散度避免策略崩溃

4.9 总结与展望

4.9.1 策略学习的发展历程

策略学习方法经历了从简单到复杂的发展过程:

- 早期: REINFORCE 算法提出策略梯度基本思想
- 发展: Actor-Critic 方法引入价值函数降低方差
- 成熟: TRPO 提供理论保证的稳定优化
- 普及: PPO 简化实现, 成为实际应用标准
- 前沿: 分布策略梯度, 元策略学习等

4.9.2 关键技术创新

1. 重要性采样: 允许重用旧数据, 提高样本效率
2. 优势函数: 降低梯度方差, 提高训练稳定性
3. 置信域方法: 限制策略更新幅度, 避免策略崩溃
4. 裁剪技术: 简化置信域约束, 提高计算效率
5. 并行化: 提高数据收集效率, 加速训练
6. 熵奖励: 鼓励探索, 防止过早收敛

4.9.3 未来发展方向

1. 样本效率提升：结合模型学习，元学习
2. 探索策略改进：好奇心驱动，内在动机
3. 多任务学习：共享表示，迁移学习
4. 分层策略：技能学习，选项发现
5. 安全约束：约束策略优化，安全探索
6. 分布式训练：大规模并行，分布式优化

4.9.4 学习建议

1. 理论基础：深入理解策略梯度定理，重要性采样
2. 实践能力：实现基本算法，调试超参数
3. 工具掌握：熟练使用 RL 框架（如 Stable Baselines3）
4. 代码阅读：学习开源实现，理解细节
5. 论文跟踪：关注最新进展，学习新方法

策略学习作为强化学习的核心方法之一，已经在游戏、机器人控制、自然语言处理等领域取得了显著成功。理解策略学习的原理和方法，掌握 PPO 等现代算法，对于解决实际强化学习问题具有重要意义。